Machine Translated by Google

Journal of Bionanotechnocracy: Countdown to 2030

Investigating Hidden Science, Emerging Technologies, and Suppressed Truths

Selvsamlende nanostrukturer i blod og urin: Implikationer for Bioakkumulering og afgiftning

David Nixon, MB, Ch.B.
Uafhængig akademiker og læge
Brisbane, Australien

E-mail: david@drdavidnixon.com | Hjemmeside: www.drdavidnixon.com |ORCID: 0009-0007-9817-5421

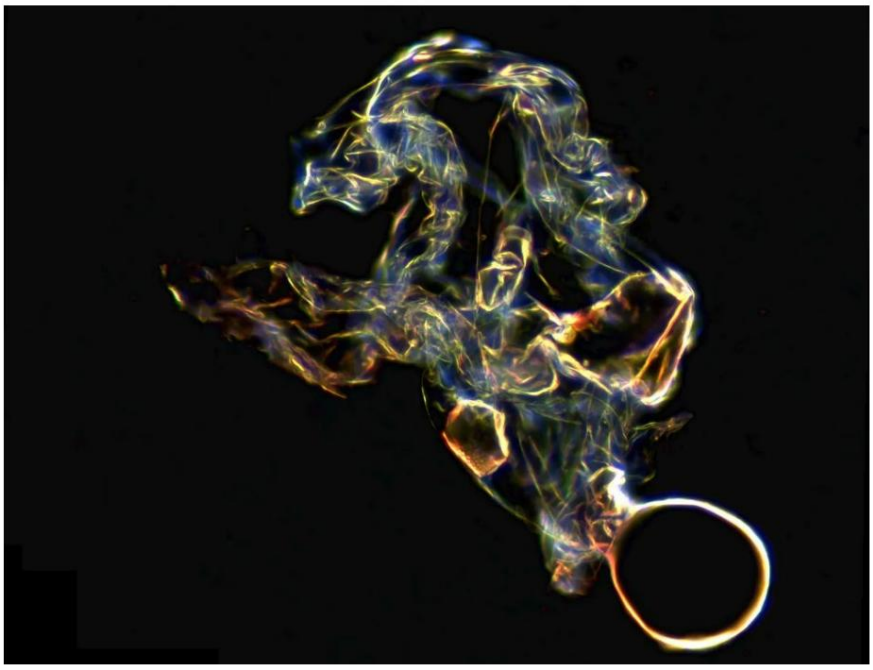

Forsidebillede. Højopløselig fotosyntet komposit af en hydrogel-afledt struktur udskilt i urin. Formationen viser transparente, filamentøse ark og foldede grænselag, der kommer ud fra et enkelt vesikulært anker. Farveforstærkningen er blevet reduceret for at eliminere overmætning, hvilket afslører fine detaljer uden RGB-kanalforvrængning. Dette billede indkapsler den dynamiske opførsel af syntetiske eller semisyntetiske arkitekturer observeret i biologiske væsker og fremhæver samspillet mellem vesikulær oprindelse, udvidet morfogenese og udskillelsesfrigivelse. Forstørrelse 400x (komposit).

Machine Translated by Google

Indhold

Abstrakt

Nøgleord

Oversigt over det generelle publikum

Indledning

Materialer og metoder

Resultater

Diskussion

Konklusion

Referencer

Taksigelser

Erklæring om interessekonflikter

Meddelelse om ophavsret

Ordliste

Juridisk ansvarsfraskrivelse

Machine Translated by Google

Journal of Bionanotechnocracy: Countdown to 2030

Investigating Hidden Science, Emerging Technologies, and Suppressed Truths

Selvsamlende nanostrukturer i blod og urin: Implikationer for Bioakkumulering og afgiftning

Abstrakt

Strukturelle anomalier i blod – specifikt vesikler, krystaller og kolloider – giver indsigt i patologiske processer og kan indikere tilstedeværelsen af skjulte syntetiske arkitekturer. Disse formationer blev først observeret i farmaceutiske produkter, herunder vacciner og anæstetika, og senere identificeret i blod og urin fra eksponerede individer, hvilket tyder på kontinuitet mellem injicerbare materialer og interne strukturer.

Tilbagevendende morfologier omfatter krystallinske gitre, trådlignende fibre, vesikelholdige motiver og kolloidale faser. Disse former opstår gennem dynamisk selvsamling og forbliver i både tørrede prøver og levende systemer. Geometrisk regelmæssighed, modulær tilslutningsevne og reaktionsevne over for elektromagnetiske felter antyder konstruerede egenskaber snarere end tilfældig kontaminering.

Lignende strukturer er nu blevet observeret hos fisk og mindst tre forskellige pattedyrarter. Upublicerede undersøgelser indikerer også tilstedeværelsen af sammenlignelige anomalier i veterinære vacciner og injicerbare lægemidler, hvilket tyder på et bredere mønster af eksponering på tværs af arter.

Komplementær signalanalyse afslører vedvarende emissioner nær eksponerede individer, præget af begrænset entropi, faste intervaller og strukturel ensartethed på tværs af adresser – træk, der er uforenelige med standard trådløs adfærd og tyder på algoritmisk mønstre. Disse træk understøtter tilstedeværelsen af et skjult signalsystem, der opererer ved den biodigitale grænseflade.

Samlet set peger mikroskopi- og signalbeviserne på fremkomsten af en postbiologisk kommunikationsarkitektur, der er indlejret i den menneskelige biologi. Konvergensen af strukturerede materialer og transmissionsmønstre rejser presserende spørgsmål vedrørende funktion, hensigt og tilsyn. De fænomener, der beskrives her, er synlige, reproducerbare og kræver øjeblikkelig, uafhængig videnskabelig undersøgelse.

Nøgleord: *Blodmikroskopi, syntetiske biomaterialer, krystallinsk selvorganisering, vesikler, krystaller, kolloider, farmaceutiske nanostrukturer, krydsartskontaminering, veterinær eksponering, biodigital grænseflade, skjulte signalsystemer, syntetisk nanotværkslag, postbiologisk kommunikation, elektromagnetisk responsivitet, injicerbare arkitekturer, mørkfeltsmikroskopi, regulatorisk passivitet.*

Machine Translated by Google

Oversigt over det generelle publikum

Siden 2021 har forskere ved hjælp af mikroskoper opdaget mærkelige og ensartede mønstre i medicinske produkter som vacciner og bedøvelsesmidler. Disse omfatter små krystaller, fibre og vesikellignende bobler, der ikke matcher nogen kendte biologiske strukturer. Hvad der er mere foruroligende er, at lignende strukturer nu findes i blod og urin fra mennesker, der er udsat for disse produkter. Dette tyder på, at noget inde i injektionerne kan være i gang med at opbygge eller udløse disse formationer i kroppen.

Mønstrene er yderst organiserede – de viser symmetri, konnektivitet og endda reaktioner på elektromagnetiske felter. De ser ikke ud til at være tilfældig kontaminering. I stedet ser de ud til at selvsamle sig og opføre sig mere som konstruerede systemer end naturlige stoffer. Disse fund er ikke begrænset til mennesker. Lignende materialer er blevet observeret i fisk og mindst tre pattedyrarter, og foreløbig forskning tyder på, at den samme kontaminering er til stede i veterinærlægemidler.

Udover disse fysiske strukturer er der et andet lag af bekymring: usædvanlige trådløse signaler er blevet registreret i nærheden af vaccinerede personer. Disse signaler er ikke knyttet til normale Bluetooth-enheder. I stedet ser de ud til at følge en skjult logik – de gentages med jævne mellemrum og viser strukturerede mønstre med lav entropi. Dette peger på et muligt "udsendelsessystem", der ikke genkendes af standardteknologi.

Samlet set rejser disse opdagelser alvorlige spørgsmål. Ser vi de tidlige stadier af et skjult teknologisk system, der aktiveres inde i levende kroppe? Kunne disse formationer og signaler være en del af et større design, der aldrig er blevet offentliggjort?

Disse observationer er ikke teorier – de er synlige under mikroskopet og målbare i miljøet. De kræver øjeblikkelig opmærksomhed fra forskere, regulatorer og offentligheden. Hvis disse strukturer er virkelige – og beviserne tyder på, at de er det – så er der også behov for åben, uafhængig undersøgelse.

Machine Translated by Google

Indledning

Denne undersøgelse undersøger forringede ændringer i blodets sammensætning og foreslår, at strukturelle anomalier— Specifikt vesikler, krystaller og kolloider – giver det klareste indblik i underliggende patologiske processer og de intentioner, som sådanne arkitekturer kan skjule. Samtidig peger disse formationer på behandlingsveje, der er blevet forsømt – eller endda aktivt afbøjet – af institutionel medicin. Fra begyndelsen af 2021 afslørede mikroskopi af vaccineindhold strukturelle motiver – vesikler, krystaller og kolloider – der lignede dem, der senere blev observeret i blodet hos eksponerede individer, hvilket rejser spørgsmål om sammensætningen af disse produkter og deres mulige konstruerede formål.

Disse observationer stemmer overens med mikroskopibaserede undersøgelser fra uafhængige forskere, der dokumenterer strukturelle anomalier i blodet hos vaccinerede individer. Cipelli et al. **(2022)** rapporterede den vedvarende tilstedeværelse af krystallinske blodplader, fibrøse indeslutninger og nanoskalapartikler – hvoraf ingen forekom i uvaccinerede kontrolpersoner – på tværs af en stor patientkohorte. Ved hjælp af mørkfelt- og elektronmikroskopi viste de, at disse strukturer udviste forskellige morfologier og elementære signaturer, der stemmer overens med syntetisk eller konstrueret oprindelse. Deres resultater, der blev offentliggjort i et peer-reviewed tidsskrift i begyndelsen af 2022, har ikke modtaget nogen substantiel modbevisning, opfølgende undersøgelse eller regulatorisk reaktion i de tre år, der er gået siden – på trods af deres implikationer. Den vedvarende tavshed omkring dette arbejde står i skarp kontrast til, hvor presserende dets resultater er.

I oktober 2022 offentliggjorde David Hughes en detaljeret syntese af anomale strukturer rapporteret i blodet hos vaccinerede individer. Med udgangspunkt i arbejdet udført af uafhængige forskere, klinikere og mikroskopi-eksperter katalogiserede hans artikel en ensartet række af egenskaber - trådlignende filamenter, mønstrede indeslutninger, krystallinske geometrier og optisk aktive partikler (Hughes **2022).** Disse tilbagevendende strukturer – observeret på tværs af geografiske regioner og billeddannelsesmodaliteter – trodsede konventionel hæmatologisk klassificering. Hughes argumenterede for, at deres reproducerbarhed – og deres tidsmæssige sammenhæng med vaccineeksponering – pegede mod en konstrueret eller ikke-biologisk oprindelse. Hans gennemgang markerede den hidtil mest omfattende indsats for at konsolidere mikroskopifund fra hele verden, og den understregede det presserende behov for formel undersøgelse – en opfordring, der stadig er ubesvaret.

Byggende på mikroskopioptegnelserne, Kyrie og Broudy **(2022)** tilbød en teoretisk ramme til at fortolke tilstedeværelsen af syntetiske strukturer i kroppen som bevis på en bredere teknologisk implementering. I stedet for at behandle disse fund som isolerede anomalier foreslog de, at sådanne inklusioner kunne danne en del af et distribueret teknologisk system - hvad de kaldte et bio-nano panoptikon. Med udgangspunkt i militære rapporter, videnskabelige patenter og adfærdsforskningsprogrammer argumenterede de for, at injektioner kan fungere som leveringssystemer til funktionelle nanostrukturer - der er i stand til kommunikation, dataudveksling og fysiologisk modulering.

Deres analyse omformulerede mikroskopibeviser ikke som utilsigtet kontaminering, men som fysisk infrastruktur – en syntetisk netværksarkitektur indlejret i kroppen. Ved at placere disse strukturer inden for dokumenterede fremskridt inden for kybernetik, kunstig intelligens og overvågningsteknologi fremhævede Kyrie og Broudy indsatsen ved at ignorere dette nye paradigme – og den systemiske afvisning af at undersøge det.

Denne undersøgelse bygger direkte videre på denne udvikling. Resten af denne introduktion opsummerer mikroskopioptegnelsen, udvider den til signalanalyse og indrammer de nuværende blod-urin-fund. På tværs af en række mikroskopiundersøgelser har jeg dokumenteret tilstedeværelsen af komplekse, selvsamlende strukturer i flere farmaceutiske produkter, herunder Pfizer-BioNTech COVID-19-vaccinen samt både dentale og ikke-dentale anæstetika. Ved hjælp af mørkefeltsmikroskopi og fordampning af fastsiddende dråber har jeg vist, at disse materialer giver anledning til krystallinske gitre, trådlignende fibre, vesikelholdige motiver og kolloidale faser - strukturer, der opstår gennem dynamiske processer og forbliver i både tørrede prøver og frisk blod.

Disse former opfører sig ikke som tilfældige forurenende stoffer; de udviser tilbagevendende geometrier, modulær konnektivitet og i nogle tilfælde responsivitet over for elektromagnetiske felter – egenskaber, der er i overensstemmelse med syntetiske designprincipper, som uafhængigt rapporteret af Lee og Broudy **(2024a).** Når lignende strukturer observeres på tværs af uafhængige produkter og biologiske prøver, er spørgsmålet ikke længere, om sådanne arkitekturer findes, men hvad de er til.

Machine Translated by Google

Som Hughes **(2024)** argumenterer for, at deres fortielse kan afspejle en dybere konvergens mellem syntetisk biologi, adfærdsteknologi og målene for teknokratisk styring.

Lignende strukturer er nu blevet observeret i blod- og vævsprøver fra fisk og adskillige pattedyrarter, hvilket udvider bekymringsområdet ud over mennesker. Upublicerede undersøgelser har også dokumenteret sammenlignelige krystallinske og kolloide anomalier i veterinære vacciner og injicerbare lægemidler, hvilket tyder på, at dette fænomen kan afspejle et systemisk træk ved farmaceutisk produktion eller levering. Disse fund rejser muligheden for en mekanisme for eksponering på tværs af arter, der opererer under niveauet af regulatorisk bevidsthed.

Disse fysiske strukturer er ikke undersøgelsens endepunkt; de er indgangspunktet til et større system af interaktioner. I efterfølgende undersøgelser analyserede jeg både mine egne nylige Bluetooth-scanninger og store uafhængige datasæt fra 2021, 2023 og 2025 med fokus på emissioner registreret i nærheden af vaccinerede individer. Mens de store datasæt indfangede data på adresseniveau, omfattede mine mindre sæt målinger af pakkeinterval – hvilket afslørede mønstre af vedvarende, uregistrerede signaler, der trodsede konventionel forklaring.

Disse emissioner udviste strukturerede karakteristika: begrænsede entropiprofiler, låste transmissionsintervaller og høj bitfeltlighed på tværs af forskellige MAC-adresser – funktioner, der ikke er i overensstemmelse med almindelig Bluetooth-adfærd og tyder på en koordineret signalprotokol. Disse mønstre pegede på tilstedeværelsen af et skjult broadcast-system – et syntetisk nanonetværkslag – der er i stand til at generere emissionsskabeloner algoritmisk i stedet for at stole på konventionelle hardwareidentifikatorer.

Samlet set peger beviserne på den stille aktivering af et postbiologisk kommunikationslag—
konstrueret til ikke at hele, men til at interagere. Dette skift omformulerer kroppen til et programmerbart endepunkt i en bredere signalarkitektur, hvor emissioner, adfærd og endda kognition kan være underlagt ekstern modulering.
Tavshed fra myndighederne om dette emne skyldes ikke mangel på teknologisk præcedens: den arkitektur, der beskrives her, passer inden for rammer, der allerede er skitseret i litteraturen om bio-nano-kommunikationssystemer, Internet of Bodies-protokoller og syntetisk biologi.

Denne undersøgelse præsenterer nye mikroskopiske beviser fra blod- og urinprøver indsamlet i 2024 og 2025. Disse fund udvider de strukturelle mønstre, der tidligere er observeret i vaccinerester og anæstetikapræparater, til levende systemer og viser kontinuitet mellem injicerbare materialer og intern arkitektur. De former, der dokumenteres her - krystaller, vesikler, kolloider og hybridkompositter - afspejler dem, der ses i farmaceutiske studier. Sammen rejser disse fænomener presserende spørgsmål om hensigt, potentielle skadevirkninger og den systemiske afvisning af at undersøge, hvad der tydeligvis er til stede. Hvis Hughes hjælper os med at se det makroskala terræn af skjulning, tilbyder det syntetiske nanonetværkslag en håndgribelig hypotese om funktion - der antyder, at det, vi observerer, kan være en del af et indlejret kommunikationssystem. Det følgende er ikke spekulativt - det er synligt.

Machine Translated by Google

Materialer og metoder

Mikroskopspecifikationer

Mikroskopi blev udført med et Neogenesis System 9W LED-mikroskop udstyret med både lysfelts- og mørkfeltskondensatorer. Billedoptagelse blev udført med et HDMI HD USB-kamera med en maksimal opløsning på 3264 × 1836 pixels.

- **Lysfeltskondensator:** Abbe-kondensator med matfilter (NA = 1,25)
- **Mørkfeltkondensator:** Olieimmersions-kardioidetype

Forberedelse af objektglas

Mikroskopiglas (Livingstone International Pty Ltd.) målte 76,2 × 25,4 mm med en tykkelse på 0,8-1,0 mm. Før brug blev glasene rengjort med sterile servietter med 70% isopropylalkohol og tørret med Kimwipes (Kimtech delicate task wipers) for at minimere partikelkontaminering. Dækglas (22 × 40 mm borsilikatglas, Livingstone) blev brugt til montering af prøverne.

Prøveindsamling og -forberedelse

Kapillærblod blev opsamlet ved hjælp af sterile engangslancetter under aseptiske forhold. En dråbe blev straks påført et forberedt objektglas, dækket med et borosilikatdækglas og analyseret uden antikoagulantia eller fikseringsmidler. Billeddannelse blev udført under både lyse og mørke feltforhold uden forsinkelse.

Kontrol og kontamineringsovervejelser

Ingen parallelle kontrolprøver (f.eks. saltvand, destilleret vand) blev inkluderet i dette specifikke studie. Tidligere forskning med farmaceutiske prøver, herunder Pfizer-BioNTech COVID-19-vaccinen, anvendte dog omfattende kontamineringskontroller for at udelukke mikroskopiartefakter eller præparationsinducerede anomalier. Disse tidligere kontroller bekræftede, at de observerede strukturer ikke var et resultat af håndtering eller billeddannelsesteknikker. Fremtidige undersøgelser bør udvide kontrolbetingelserne til at omfatte miljømæssige og proceduremæssige variabler i analyse af biologiske væsker.

Et Neogenesis System 9W LED-mikroskop blev anvendt til billeddannelse, udstyret med både lysfelts- og mørkfeltskondensatorer og et HDMI HD USB-kamera (maksimal opløsning: 3264 × 1836).

- Bright Field-kondensator: Abbe-kondensator med matteret filter (NA = 1,25)
- Mørkfeltkondensator: Olieimmersions-kardioid mørkfeltkondensator

Forberedelse af objektglas

Der blev anvendt objektglas (Livingstone International Pty Ltd.) med følgende specifikationer:

- Tykkelse: 0,8–1,0 mm

Machine Translated by Google

- Dimensioner: 76,2 × 25,4 mm

Objektglassene blev rengjort før brug med en steril serviet med 70% isopropylalkohol for at fjerne eventuelle resterende forurenende stoffer og derefter tørret med en Kimwipes Kimtech delikat klud for at forhindre fnug eller partikelforurening.

Dækglas: Livingstone 22 × 40 mm borsilikatglasdækglas blev brugt til montering af prøverne.

Prøveindsamling og -forberedelse

Blodprøver: Kapillærblod blev udtaget via en steril engangsblodlancet ved hjælp af aseptisk teknik. En lille dråbe blev placeret på objektglasset uden antikoagulantia eller fikseringsmidler, dækket med et dækglas og straks analyseret under mørkfelts- og lysfeltsmikroskopi.

Kontrol og kontamineringsovervejelser

Der blev ikke introduceret yderligere kontrolprøver (f.eks. saltvand, destilleret vand) i dette studie. Imidlertid blev der implementeret kontamineringskontroller i tidligere forskning i Pfizer-formuleringer, som dokumenteret i [Reference til Pfizer-artikel]. Disse tidligere kontroller viste, at de observerede formationer ikke var artefakter, der opstod fra mikroskopiteknikker eller prøveforberedelse. Selvom denne undersøgelse fokuserer på direkte analyse af biologiske væsker, bør fremtidig forskning udvide kontroltestning for yderligere at vurdere potentiel miljømæssig eller proceduremæssig kontaminering.

Machine Translated by Google

Resultater

På tværs af blod- og urinprøver var vesikulære formationer blandt de tidligste og mest konsekvent observerede træk. Disse strukturer varierede i størrelse, klarhed og intern kompleksitet, men udviste et fælles sæt af karakteristika: skarpe optiske grænser, intern strukturering og stabil association med omgivende materialer.
Mange syntes at spille overgangs- eller interaktive roller – de fungerede som knudepunkter for krystalnukleering, fiberfremkomst eller partikelindkapsling. De følgende billeder illustrerer centrale vesikelmorfologier observeret i humane prøver, efterfulgt af en sammenlignelig dannelse i katteblod.

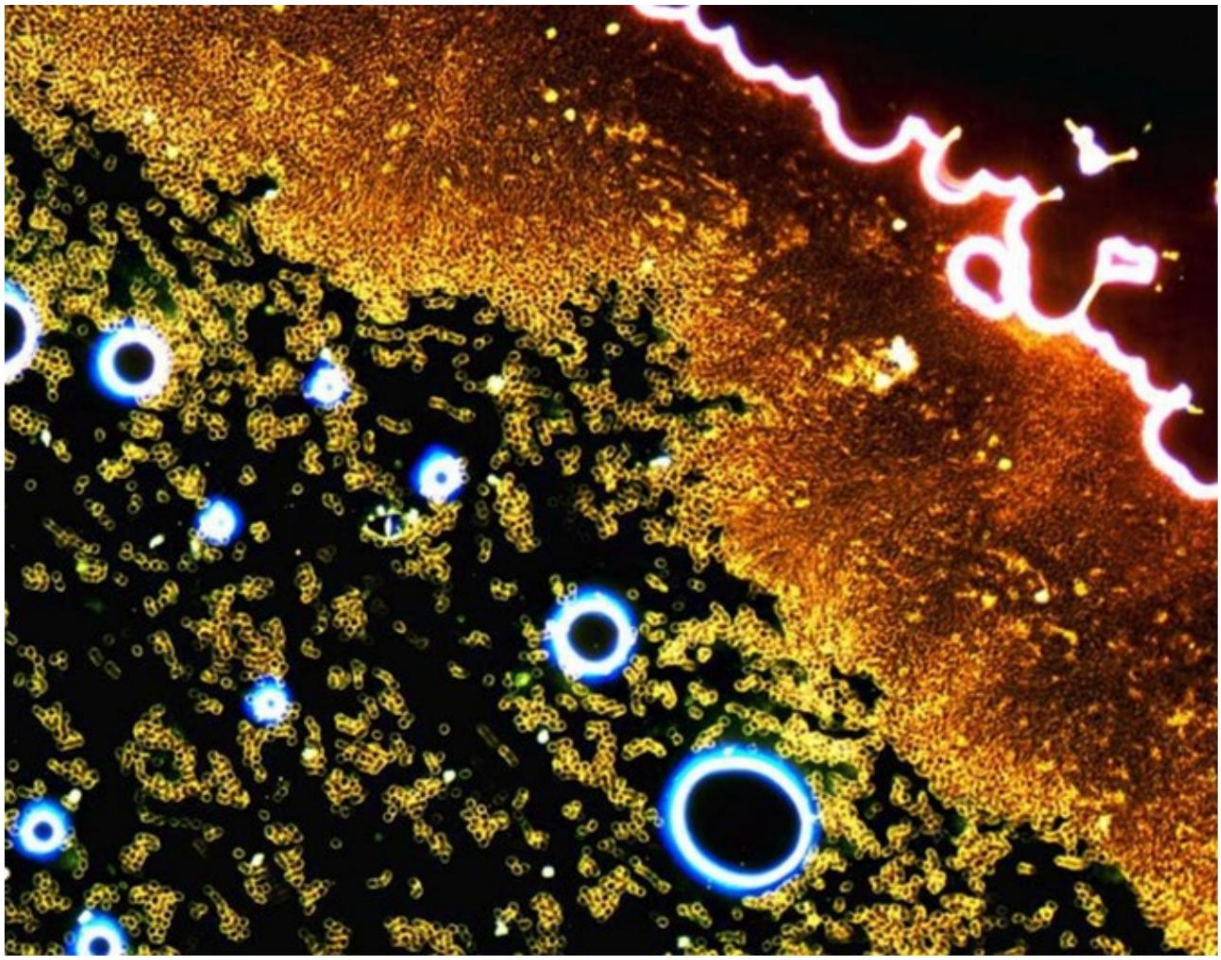

Figur 1. Vesikelfelt ved siden af en dynamisk fasegrænse i menneskeblod. Snesevis af optisk aktive vesikler klynger sig sammen under en skarpt defineret krystallinsk eller fasesepareret kant. Vesiklerne udviser ensartet rundhed, indre klarhed og ensartet kantkontrast, hvilket tyder på skabelonformation og koordination på populationsniveau. Forstørrelse 400x.

Machine Translated by Google

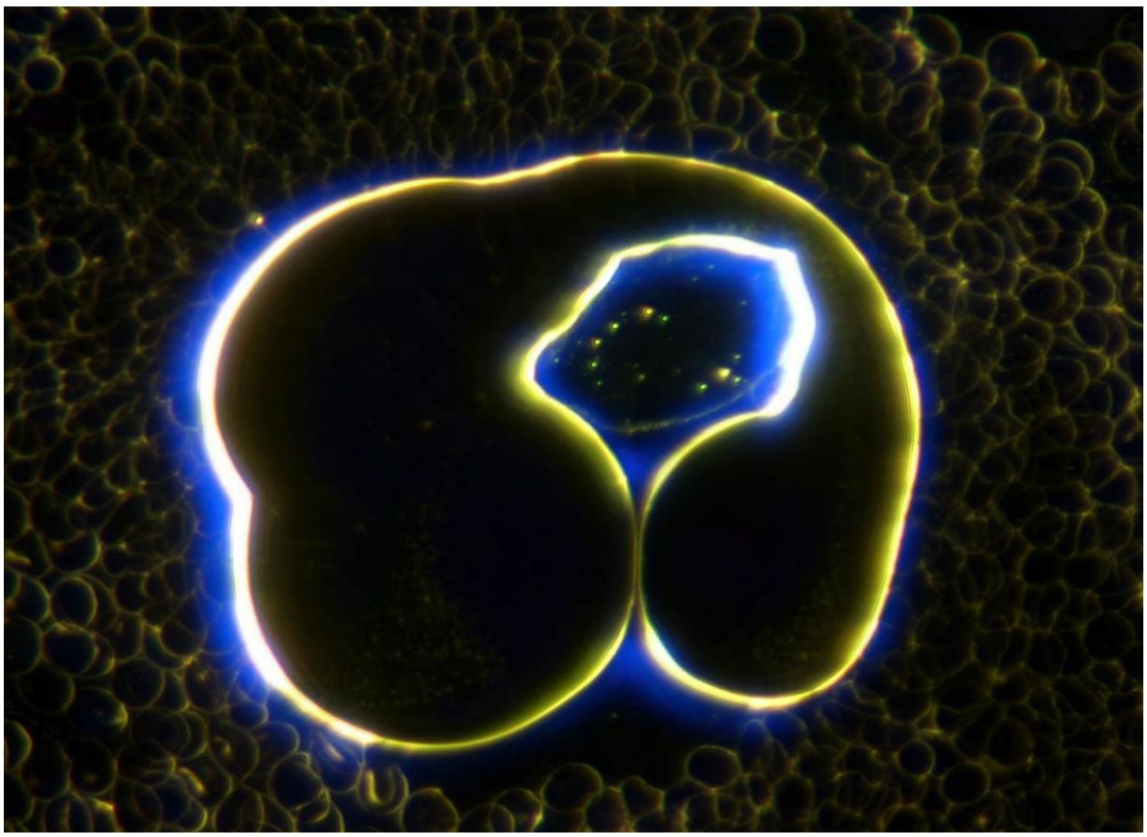

Figur 2. Flerkammervesikel i menneskeblod, der udviser skarp grænsedefinition og indlejret intern morfologi. Vesiklens ydre membran indeholder to store lapper, der omgiver en centralt afgrænset, optisk aktiv inklusion – hvilket tyder på tidlig strukturel kodning og rumlig differentiering. Forstørrelse 400x.

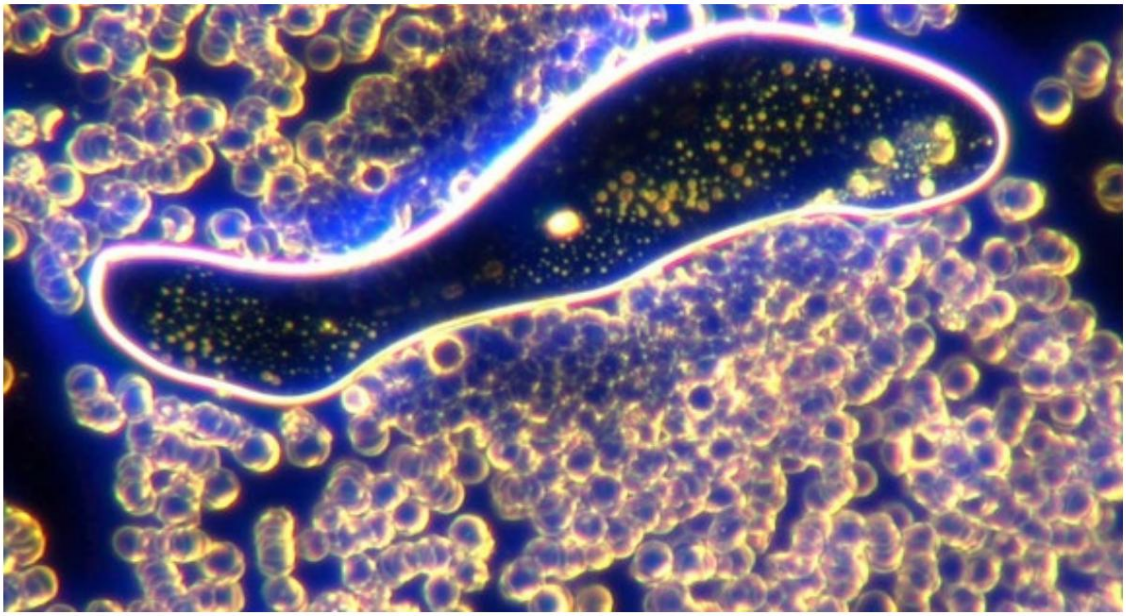

Figur 3. Uregelmæssigt formet vesikel indeholdende tætpakkede partikelindeslutninger. Vesikelgrænsen forbliver skarpt defineret og omslutter indre granuler, der udviser ensartet afstand og optisk reaktivitet. Disse træk antyder aktive indkapslings- eller sorteringsfunktioner inden for en dynamisk selvsamlingsproces. Forstørrelse 400x.

Machine Translated by Google

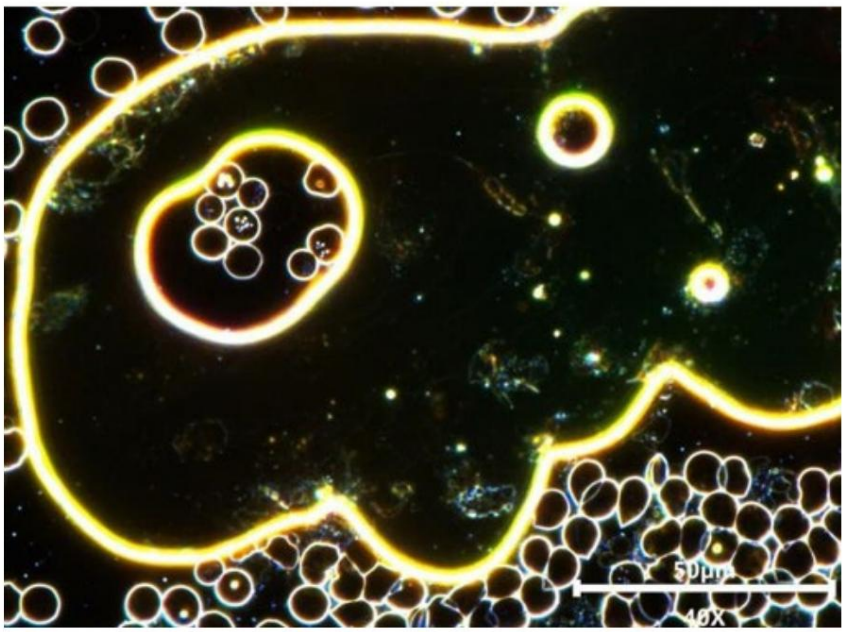

Figur 4. Hierarkisk organiseret vesikel indeholdende flere mindre vesikler og mikrobobler. Den ydre membran viser skarp definition og krumningsmodulation, der omslutter en velstruktureret population af indre rum. Målestokslinjen bekræfter subcellulært størrelsesinterval, hvilket forstærker præcisionen og intentionaliteten af dannelsen. Forstørrelse 400x. Billede taget af Karl C.

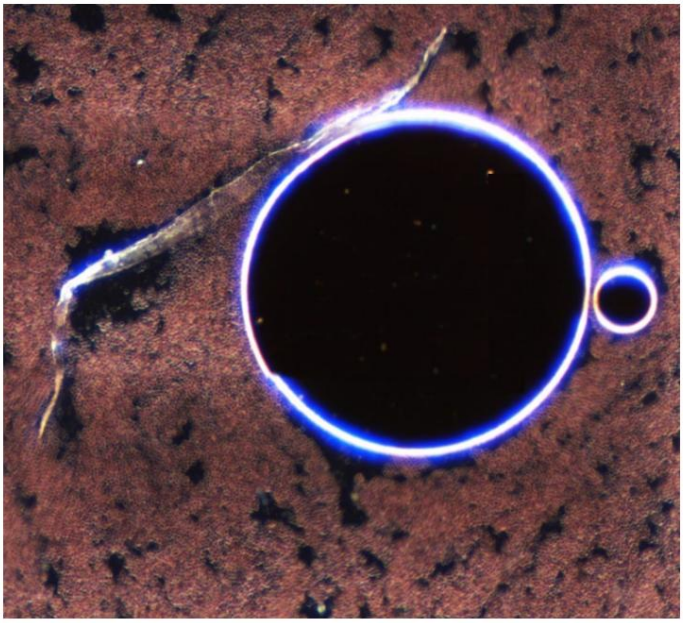

Figur 55. Fiber, der skærer en stor vesikel i katteblod (kat: "Toby"), og viser strukturelle paralleller til dem, der observeres i humane prøver. Bemærk den ensartede kantdefinition, lagdelte gennemsigtighed og justeringsdynamikken i fiberen. Den mindre vesikel ved bunden af den primære struktur forstærker den tilbagevendende vesikel-fiber-association. Forstørrelse 400x.

Machine Translated by Google

Forekomsten af lignende vesikulære strukturer i katteblod understøtter stærkt den konklusion, at disse formationer ikke er begrænset til menneskelige biologiske systemer. Figur 6 udvider denne observation yderligere og viser en usædvanlig population af ensartet formede vesikler, der ligner erytrocytter. Trods deres overfladiske lighed mangler disse strukturer de definerende træk ved røde blodlegemer - især central bleghed og cytoplasmisk granularitet - hvilket øger muligheden for, at de repræsenterer en syntetisk analog. Deres densitet, overfladedefinition og sammensætningsmæssige konsistens indikerer en distinkt vesikelpopulation snarere end ægte hæmatologiske elementer.

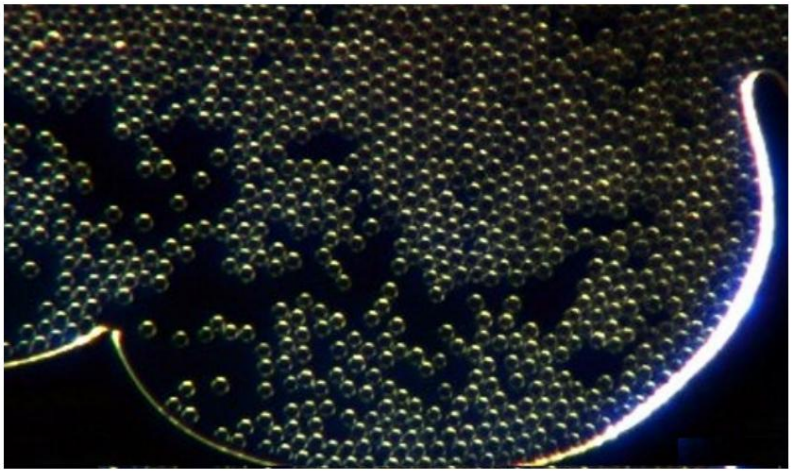

Figur 6. Tæt vesikelopstilling, der efterligner erytrocytternes morfologi, men mangler central bleghed og cytoplasmatiske detaljer. Disse ensartede, optisk forseglede vesikler ligner røde blodlegemer i distribution, men kan skelnes ved deres reflekterende skaller og ikke-biologiske overfladeegenskaber. Deres syntetiske udseende, skala og ensartethed på populationsniveau antyder konstrueret vesikeldannelse. Forstørrelse 400x.

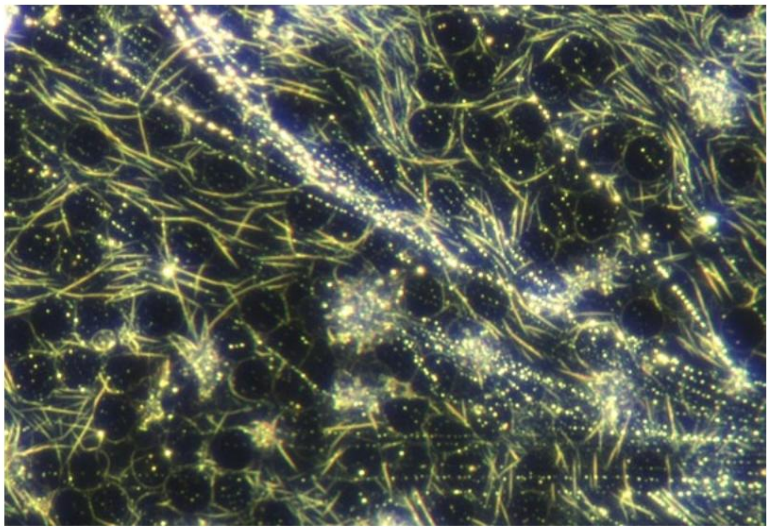

Figur 7. Tæt syntetisk matrix, der ligner fibrin i menneskeblod, og som viser justerede kolloidale filamenter, partikelformede tråde og mørke vesikellignende former. Feltet er mættet med nanostruktureret materiale, der danner ordnede, sammenvævede bundter, der antyder skabelonbaseret vækst eller styret samling. Talrige små vesikler eller erytrocytefterligninger – uden indre granularitet eller bleghed – virke inerte eller kunstige af karakter. Den overordnede præsentation efterligner fibrinkogning, men afviger i geometri, reflektionsevne og ensartethed, hvilket rejser spørgsmål om disse materialers biomimetiske design og patologiske rolle. Forstørrelse 400x.

Machine Translated by Google

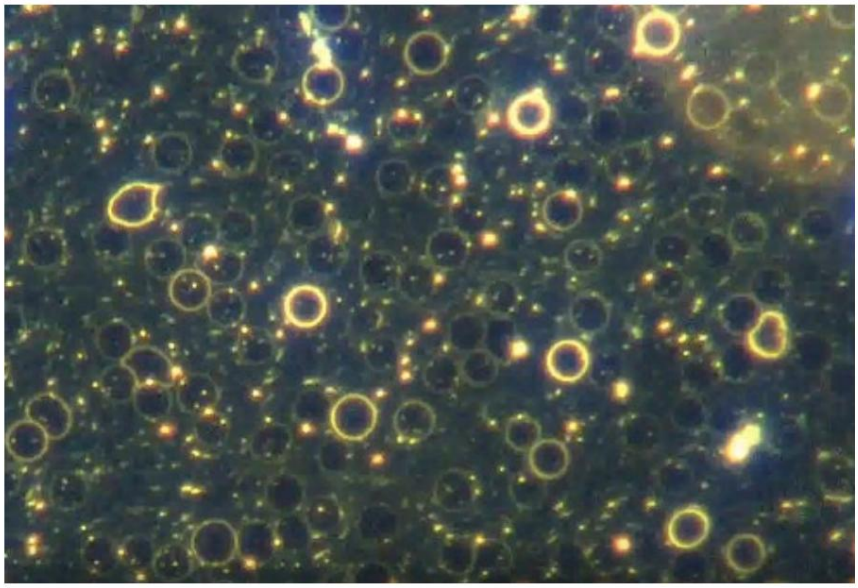

Figur 8. Stærkt ændret blodprøve, der viser udbredt kolloid infiltration og membrananomalier. Der er flere populationer af vesikellignende strukturer til stede, hvoraf mange udviser koncentriske eller flerlagede membraner med varierende optisk tæthed. Det omgivende felt er mættet med reflekterende nanopartikler og kolloider, der danner en granulær matrix, der synes at interagere med eller klæbe til de vesikulære overflader. Fraværet af typisk erytrocytmorfologi og overrepræsentationen af ensartede, optisk forseglede vesikler antyder en syntetisk eller stærkt modificeret tilstand, hvilket stemmer overens med udbredt forstyrrelse eller erstatning af normale hæmatologiske elementer. Forstørrelse 400x.

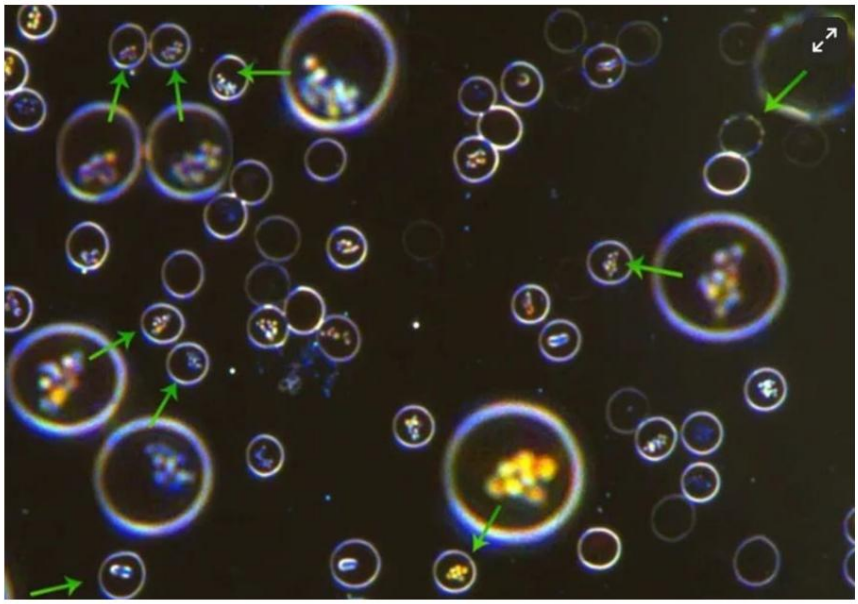

Figur 9. Sammensat billede, der viser den indre struktur i små vesikler. De større vesikler i felten er digitalt forstørrede kopier af de mindre former, kommenteret her med grønne pile. Hver af dem demonstrerer intern partikelkompleksitet, hvilket bekræfter, at selv submikronvesikler udviser ikke-tilfældig organisering og potentiel funktionalitet. Forstørrelse 400x (original skala), sammensat forstørrelse. Billede taget og fremhævet af Karl C.

Machine Translated by Google

De vesikeldannelser, der er dokumenteret på tværs af disse prøver, udviser ensartede træk, der trodser konventionel biologisk fortolkning. Deres skarpe grænser, interne strukturering og ensartethed på populationsniveau antyder en underliggende samlingslogik, der ikke tages højde for i standard hæmatologiske eller biokemiske processer. Observeret i både humant og animalsk blod, og på tværs af størrelsesskalaer fra store rum til mikronskala kugler, udviser disse vesikler reproducerbar adfærd, der er i overensstemmelse med syntetisk eller konstrueret oprindelse. Deres hyppige forbindelse med andre strukturelle motiver - især fibre og krystallinske elementer - antyder, at vesikler kan tjene som forstadier, transportmellemprodukter eller strukturelle initiatorer inden for et bredere selvsamlingssystem. Denne hypotese understøttes af de overgangsformer, der er dokumenteret i næste afsnit.

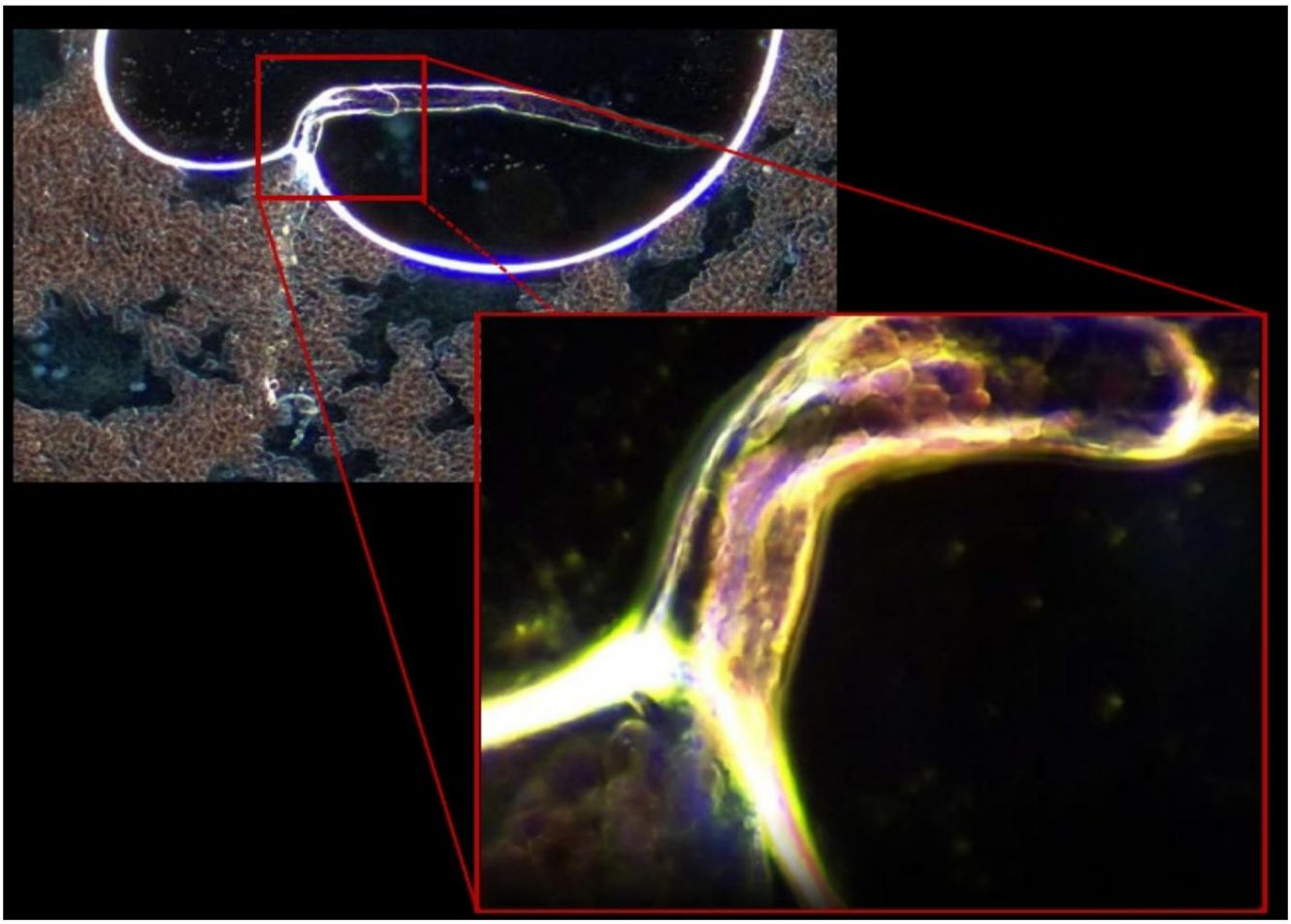

Figur 10. Kompositbillede, der viser fiberekstrudering fra en vesikelgrænse i menneskeblod (billede med tilladelse fra Steve Clough). Hovedpanelet (100x) viser en dobbeltfliget vesikel med en fiber, der kommer ud af den interlobære overgang. Indsætningen (400x) afslører detaljerede laminære og dobbeltbrydende træk i fiberen, hvilket tyder på struktureret forlængelse og membranforankring. Denne konfiguration understøtter hypotesen om, at vesikler fungerer som startpunkter i en programmeret samlingssekvens.

Overgangen fra vesikel til fiber forekommer ikke kun under mørke feltforhold, men også i hydrerede miljøer, hvor hydrogelmatricer giver et medium for udvidet morfogen adfærd. Figur 9, fanget under lysfeltmikroskopi, viser en lignende vesikulær oprindelse, der fører ind i en fiberlignende forlængelse. Strukturens form og indhold antyder, at både blodkomponenter og hydrogeldynamik påvirker fiberdannelsen, hvilket peger på en bredere miljøfølsomhed i selvsamlingsprocessen.

Machine Translated by Google

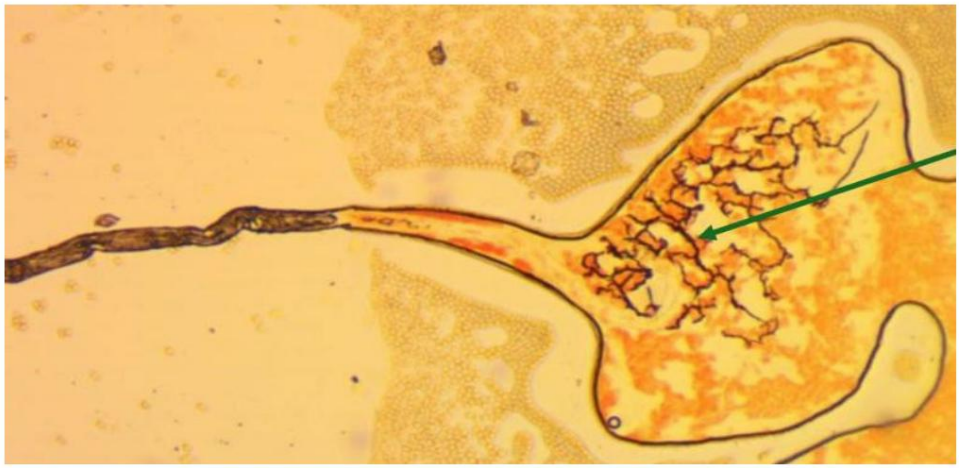

Figur 11. Lysfeltsmikroskopibillede ved 40x forstørrelse, der viser en hydrogelindkapslet blodstruktur, der overgår til en fiberlignende formation. Den indre zone indeholder røde blodlegemer arrangeret i et fraktalt tørremønster, hvilket antyder en interaktion mellem hydrogelmatrixen og blodet under dehydrering. Strukturen udviser en vesikellignende oprindelse, der snævrer ind til en fiber, hvilket stemmer overens med programmeret morfogenese og miljømoduleret selvsamling. (Billede udlånt af Delina B.)

Efterhånden som fibre fortsætter med at udvikle sig ud over simpel forlængelse, opstår der nye strukturelle tilstande. Den følgende sekvens illustrerer en progressiv overgang fra isolerede vesikelassocierede fibre til fuldt integrerede, arklignende formationer. Disse billeder indfanger et kritisk vendepunkt i samleprocessen - hvor lineære forlængelser begynder at smelte sammen, udvide sig og flade ud - hvilket antyder, at materialeadfærd ikke er statisk, men reagerer på energiske eller rumlige forhold. Denne fiber-til-ark-overgang rejser vigtige spørgsmål om, hvorvidt disse strukturer repræsenterer modulære samletrin eller faser inden for en kontinuerlig syntetisk morfogenese.

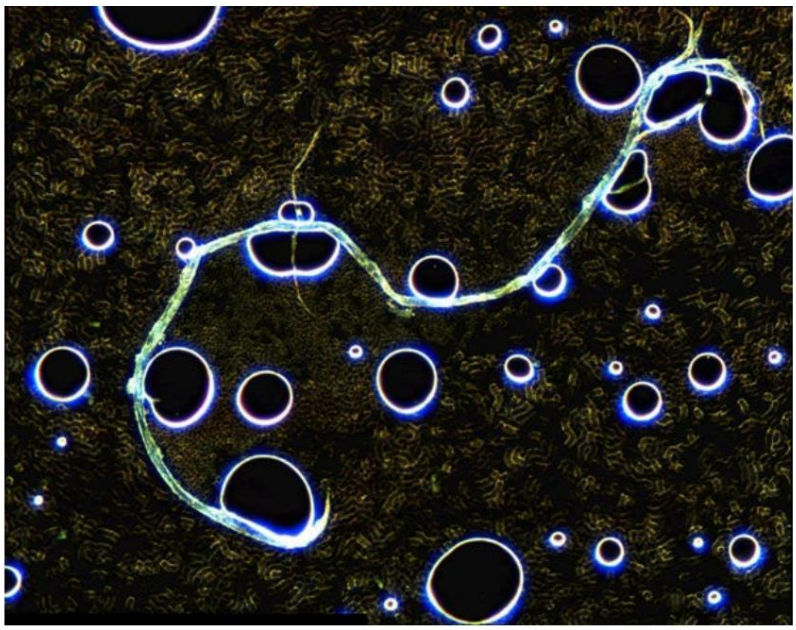

Figur 12. Et netværk af forlængende fibre opstår i et spredt vesikulært felt, hvilket antyder et interaktivt forhold mellem vesikler og fibervækst. De luminescerende kanter og den strukturerede dannelse indikerer en meget organiseret selvsamlingsproces. Forstørrelse 400x.

Machine Translated by Google

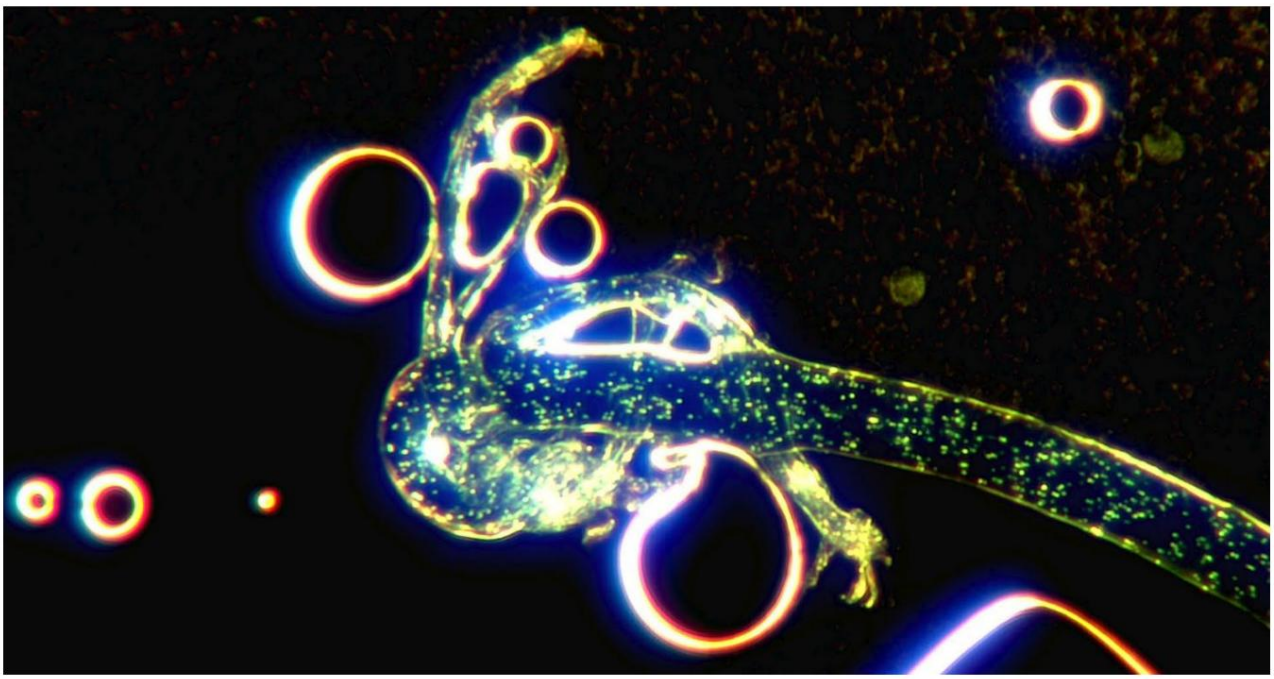

Figur 13. Denne tætpakkede fiberstruktur udviser interne partikelindeslutninger, hvilket tyder på en progressiv materialeaflejringsproces før ekspansion til ark. De strukturerede grænser og indlejrede granuler rejser spørgsmål om eksterne påvirkninger, der driver overgangen, hvilket antyder en energiafhængig eller skabelonbaseret samlingsmekanisme. Forstørrelse 400x.

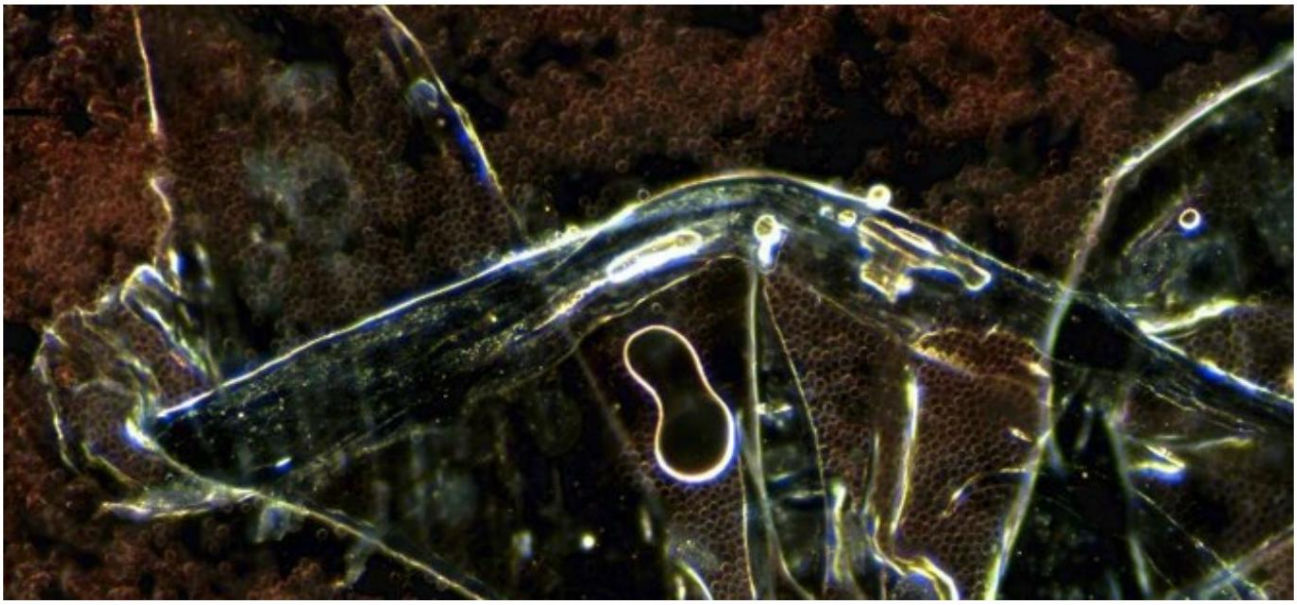

Figur 14. Et netværk af fibre integreres med ekspansive, arklignende strukturer, hvilket antyder et kontinuum i selv-samlingsprocessen snarere end diskrete faser. De reflekterende, lagdelte overflader og lysende kanter antyder en styret eller skabelonbaseret transformation, hvilket rejser spørgsmål om de underliggende mekanismer, der driver dette skift. Forstørrelse 400x.

Machine Translated by Google

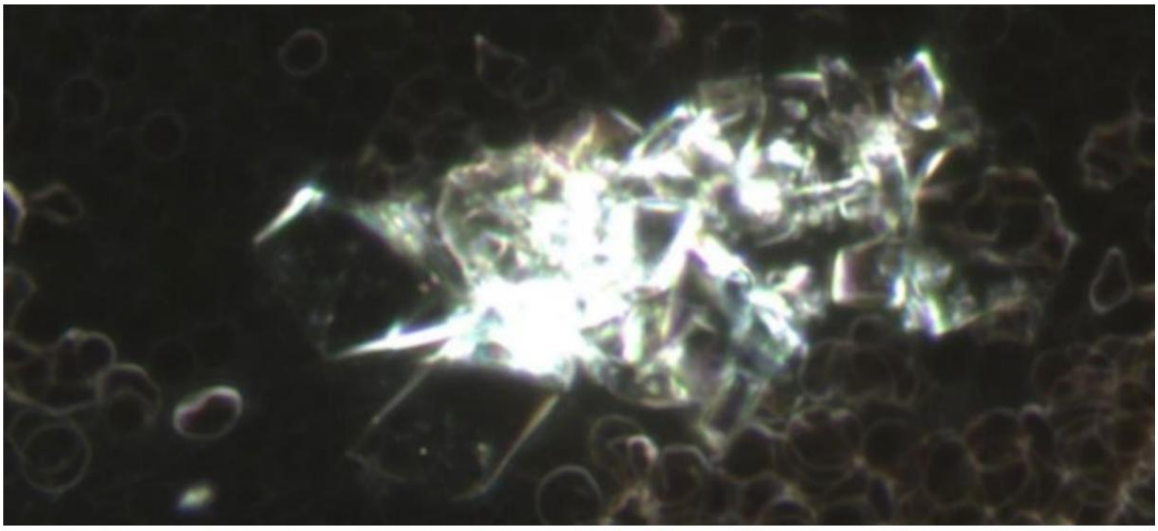

Figur **1.** Aggregerede krystallinske strukturer observeret i blod, bestående af kantede, reflekterende blodplader arrangeret med retningsbestemt konsistens. Tætheden, den interne lagdeling og den optiske kohærens indikerer en ikke-tilfældig samlingsproces, hvilket stemmer overens med konstrueret morfogenese. Forstørrelse 400x.

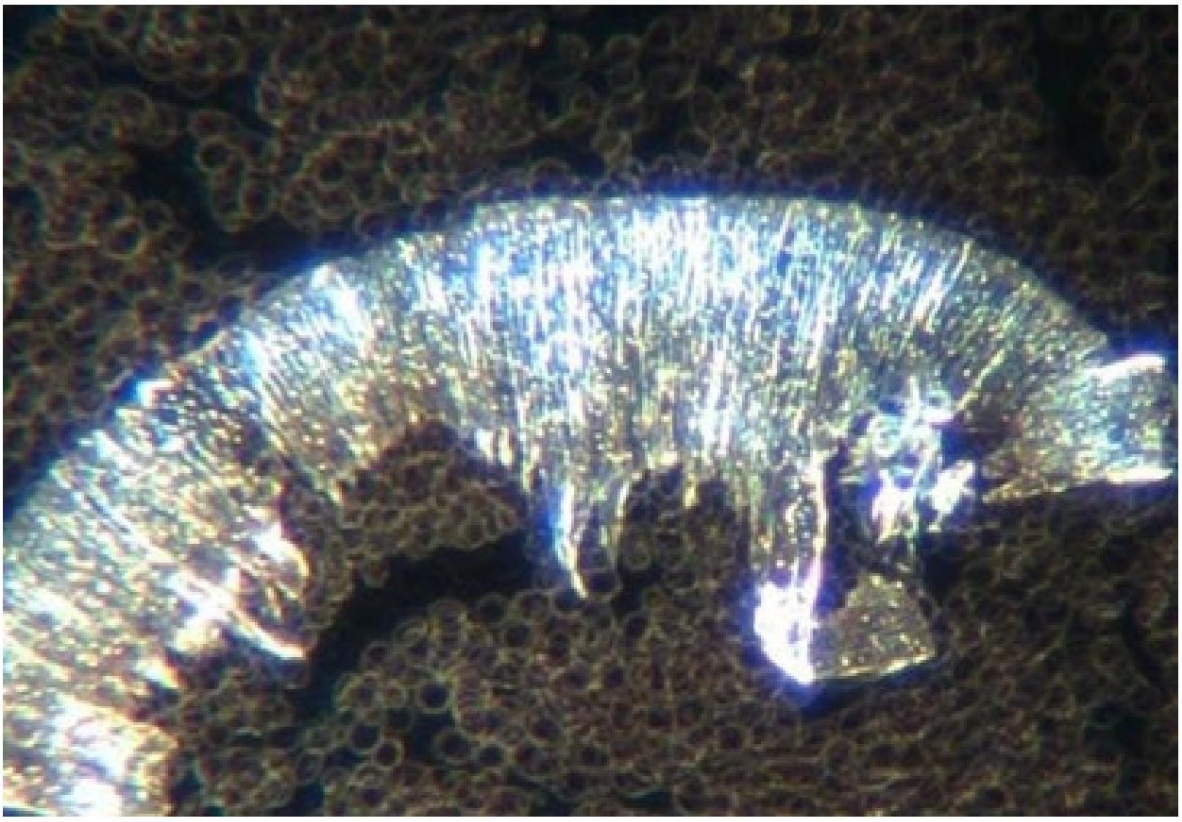

Figur 16. Buet krystallinsk struktur indlejret i en tæt blodlegemematrix. Den reflekterende skal, den interne lagdeling og den usædvanlige krumning adskiller denne formation fra naturligt forekommende krystaller, hvilket antyder styret eller syntetisk oprindelse. Forstørrelse 400x.

Machine Translated by Google

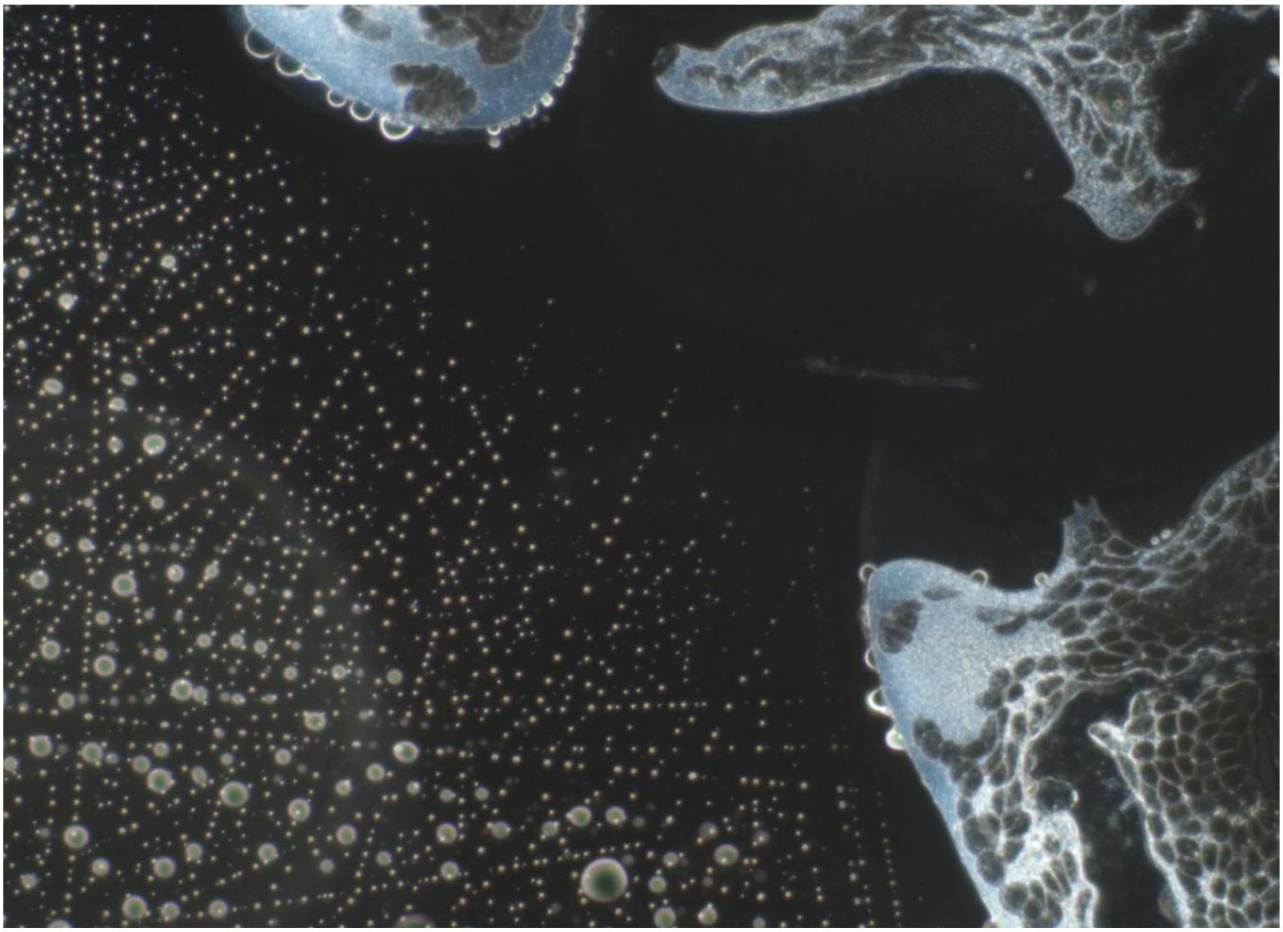

Figur 17. Blodprøve fra en patient, der rapporterer ekstrem EMF-følsomhed. Feltet afslører udbredte abnormiteter: ændrede røde blodlegemer, nanoskala blå partikler og koordinerede linjer af kolloidale partikler - hvoraf mange er hævet op til vesikellignende former. De skarpe kompartmentgrænser og gentagne rumlige mønstre antyder ekstern modulation eller resonansfeltinteraktioner. Forstørrelse 400x. Billede taget af Louise Coates fra et dias fremstillet af CM.

Disse endelige billeder demonstrerer persistensen af strukturerede samlinger i blodet – lige fra krystallinske former til partikelformede netværk – og afslører deres sammenhæng med symptomatiske patienter.
Sammen understreger de den systemiske karakter af disse fænomener og det presserende behov for at undersøge mulige sammenhænge mellem strukturelle anomalier, elektromagnetisk modtagelighed og bio-nano-interferens. En bredere undersøgelse af dette spektrum vil blive behandlet i den næste fase af dette.
forskning.

Machine Translated by Google

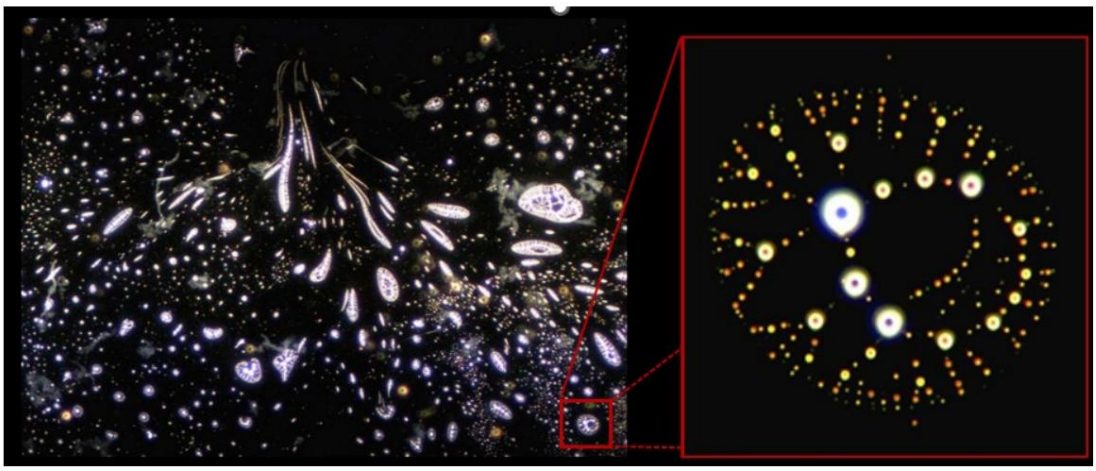

Figur 18. Kolloidt array i human urin, der viser mønstret organisering og radial strukturering. Hovedpanelet viser et tæt kolloidt felt med zoner med høj strukturel gentagelse. Indsætningen fremhæver et cirkulært motiv bestående af koncentriske vesikler og mikropartikler, der udviser rumlig symmetri, der tyder på skabelonbaseret organisering. Disse fund indikerer, at kolloidfasekomponenter ikke kun er til stede i urin, men kan bevare arkitektonisk kohærens under udskillelse. Forstørrelse 400x (hoved); indsætning forstørret digitalt.

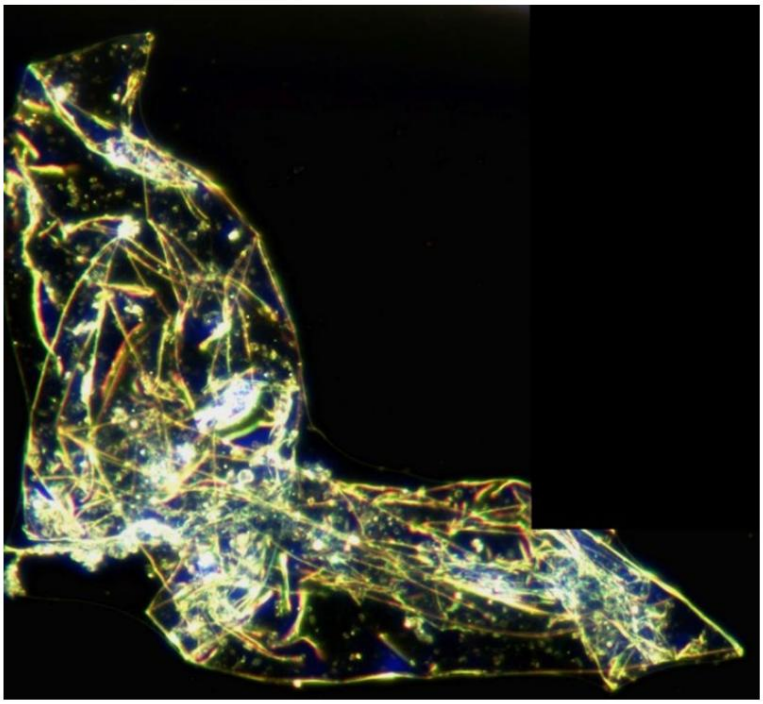

Figur 19. Højt struktureret krystallinsk plade udskilt i urin, bestående af krydsende fibre og reflekterende kantede facetter. Interiøret viser lysende tråde indlejret i en transparent membran, hvilket stemmer overens med hydrogelbundet organisering. Forstørrelse 400x.

Machine Translated by Google

Figur 20. Konisk pladestruktur med granulær kerne, observeret i urin under mørkefeltsmikroskopi. Den ensartede kantprofil og partikelfordelingen antyder en skabelonbaseret frigivelsesmekanisme snarere end tilfældig aggregering. Forstørrelse 400x.

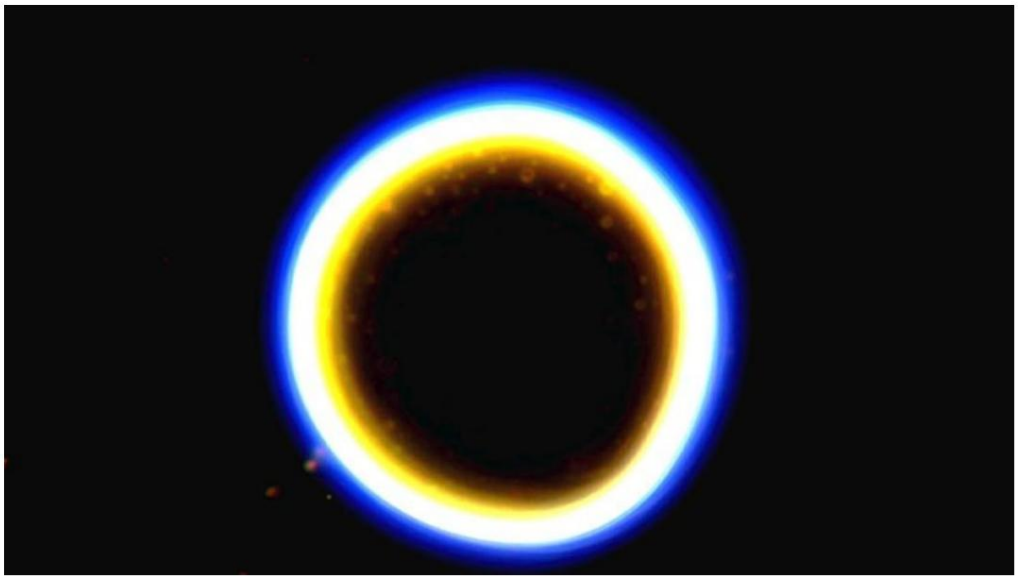

Figur 21. Stor vesikel udskilt intakt i urinen, der udviser samme grænseadfærd og kromatisk diffraktion som set i blodprøver. Den indre matrix er svag, men bevarer ensartet tæthed og kantkohærens. Forstørrelse 400x.

Machine Translated by Google

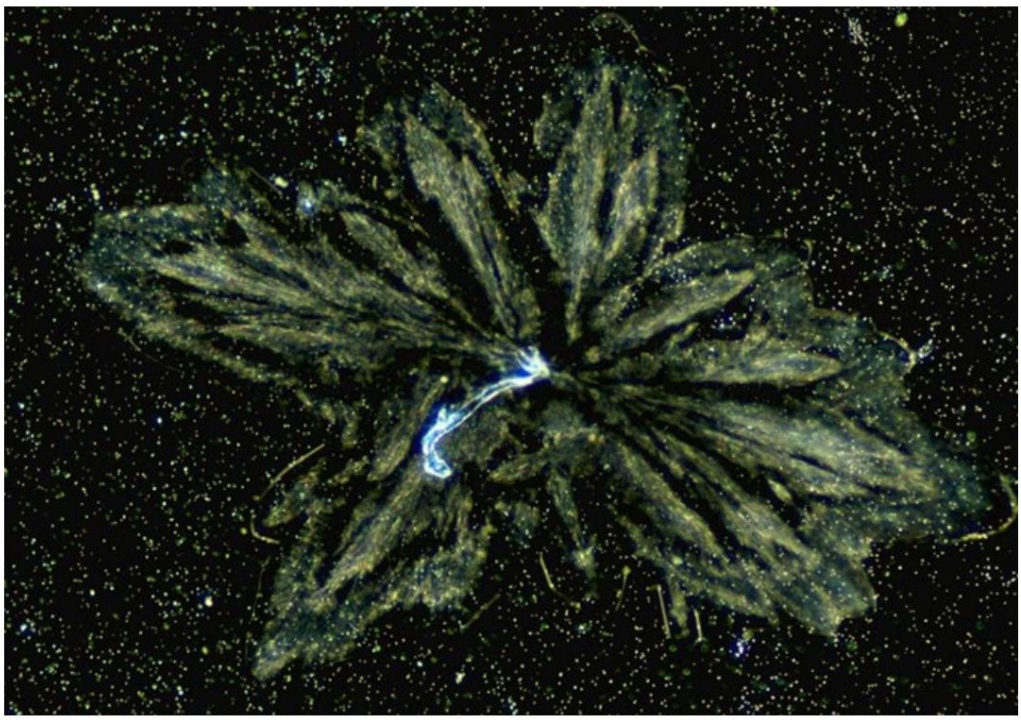

Figur 22. Seksfliget krystalstruktur med central filamentøs fremspring, omgivet af kolloid matrix. Denne blomsterlignende geometri, bevaret under elimination, indikerer, at syntetiske krystallinske motiver forbliver stabile på tværs af biologiske kompartmenter. Forstørrelse 400x.

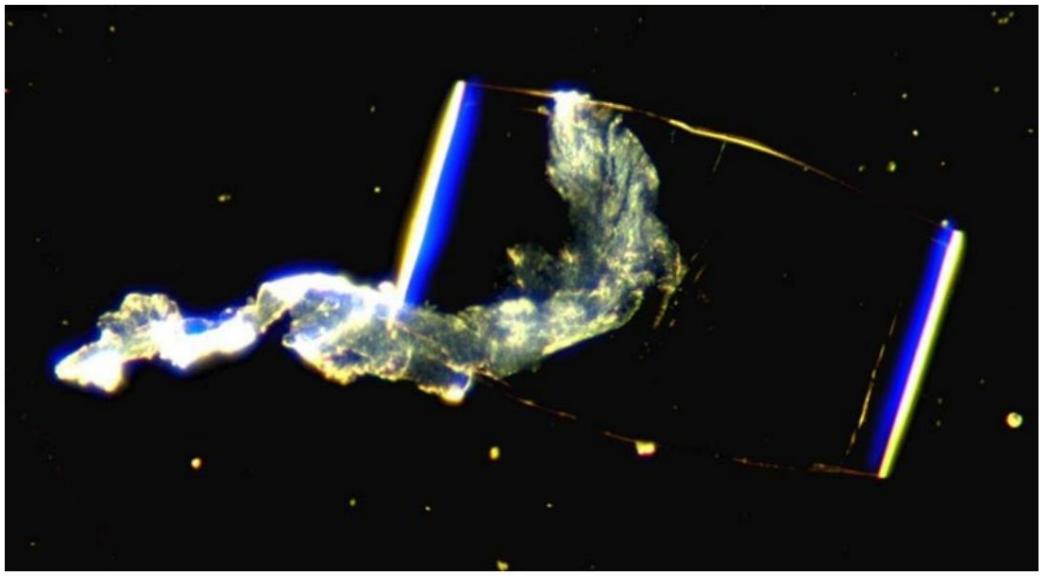

Figur 23. Kompleks struktur, der forbinder en transparent krystallinsk plade med et udskilt fiberbundt, observeret i urin. Den centrale struktur passerer gennem kantgrænsen, hvilket indikerer kontinuitet mellem systemisk materialesamling og eliminationsveje. Forstørrelse 400x.

Machine Translated by Google

Diskussion

Resultaterne præsenteret i denne undersøgelse afslører et konsistent mønster af strukturel kompleksitet, der opstår i menneskelige biologiske væsker - nemlig blod og urin - karakteriseret ved tilstedeværelsen af vesikler, krystaller, kolloider og hybride kompositformationer. Disse strukturer udviser geometrisk regelmæssighed, intern organisation og persistens over tid, hvilket tyder på, at deres dannelse ikke er et resultat af tilfældig aggregering eller utilsigtet kontaminering. Beviserne understøtter snarere hypotesen om, at disse materialer deltager i dynamiske selvsamlingsprocesser, der styres af underliggende strukturel logik.

Et tilbagevendende tema er fremkomsten af, hvad der kan beskrives som et trefaset strukturelt motiv, der omfatter vesikler, krystallinske formationer og kolloidale faser. Dette motiv er tidligere blevet observeret i studier af farmaceutiske rester, især i vaccine- og anæstetikaformuleringer, og er nu reproducerbart til stede i biologiske prøver. Kontinuiteten mellem materialer observeret i injicerbare produkter og dem, der efterfølgende findes i blod og urin, understøtter antagelsen om, at disse strukturer enten introduceres direkte eller induceres af materialeudløsere efter eksponering.

Den observerede overgang fra amorft hydrogellignende materiale til fiber- og i nogle tilfælde arklignende strukturer afspejler en ikke-tilfældig, progressiv selvsamlingsmekanisme. Den distinkte lagdeling, interne striber og togrettede morfologi af disse fibre antyder involvering af skabelonbaseret morfogenese, hvor materiale organiseres gennem sekventielle aflejrings- eller faseovergangsprocesser. Disse adfærdsmønstre kan ikke let forklares ved standardbiologiske processer såsom koagulation, fibrindannelse eller aggregering af cellulært affald. I stedet indikerer de tilstedeværelsen af prækodede samleinstruktioner eller eksterne påvirkninger, der styrer materialeorganiseringen.

Flere af de dokumenterede strukturer – især dem, der udviser indbyggede rum, dobbeltbrydende egenskaber eller fotoniske responser – udviser træk, der er i overensstemmelse med hierarkisk selvsamling, et kendetegn for konstruerede eller biomimetiske systemer (jf. Schwille, **2011).** Især kan tilstedeværelsen af interne toroidale geometrier og opdelte vesikelindeslutninger afspejle designprincipper, der findes i nanoskala syntetiske enheder eller beregningsstyrede samleprocesser.

Selvom kernefokus i denne undersøgelse er på mikroskopibaseret strukturel analyse, er det vigtigt at anerkende komplementære fund fra undersøgelser af nærhedssignaler. Tidligere forskning, herunder datasæt fra 2021 til 2025, har afsløret vedvarende, uregistrerede Bluetooth-emissioner registreret i nærheden af vaccinerede individer. Disse emissioner udviser ikke-tilfældige karakteristika såsom entropikompression, intervallåsning og bevaret bitfeltstruktur. Selvom signalfænomenerne falder uden for rammerne af direkte mikroskopi, øger samtidig forekomsten af disse emissioner med strukturerede materialedannelser muligheden for en biodigital grænseflade, hvor introducerede materialer kan besidde—
eller aktivere—kommunikationsfunktioner.

Almindelige indvendinger mod disse fund har en tendens til at gruppere sig omkring tre antagelser: for det første, at den teknologi, der kræves til at producere sådanne strukturer, endnu ikke eksisterer; for det andet, at ingen troværdig aktør ville implementere den i det skjulte; og for det tredje, at hvis en sådan implementering fandt sted, ville den allerede være bredt kendt eller eksponeret. Hver af disse indvendinger hviler mindre på beviser end på nedarvet tillid til institutionel gennemsigtighed og tekniske tidslinjer. Alligevel har mikroskopiundersøgelser udført på fisk og mindst fire pattedyrarter - herunder kvæg, hjorte, egern og tamkat - vist de samme vesikulære, krystallinske og kolloide egenskaber. Upublicerede data fra veterinærproduktanalyser tyder på, at lignende materialeadfærd er til stede i dyrevacciner og injicerbar medicin. Disse fund på tværs af arter rejser muligheden for et udbredt materialefænomen, der strækker sig ud over grænserne for et enkelt produkt, en enkelt producent eller en enkelt arts. Dette mønster berettiger yderligere undersøgelse af, om en fælles klasse af hjælpestoffer eller ikke-deklarerede tilsætningsstoffer kan fremme disse resultater. Som Akyildiz et al. bemærkede i 2015: "Nanonetværk vil muliggøre koordinerede handlinger fra nanomaskiner og tilbyde..."

Machine Translated by Google

funktioner såsom sundhedsovervågning i kroppen, lægemiddelafgivelse og endda biohybrid informationsbehandling" – en klar indikation af, at både de konceptuelle og teknologiske rammer for sådanne systemer længe har været under udvikling.

Det funktionelle potentiale af disse vesikulære formationer er fortsat et åbent spørgsmål, men deres diversitet og konsistens på tværs af prøver kræver nærmere undersøgelse. Visse vesikler synes at forstørres over tid - såsom dem, der ses øverst til højre i figur 1 - hvilket tyder på hydrogellignende adfærd, muligvis hævelse som reaktion på hydrering eller miljøfaktorer. Andre, som den uregelmæssige struktur vist i figur 3, udviser tætpakkede indre granuler, hvilket indikerer en mere kompleks lipid-protein-hybridsammensætning med potentielle roller i indkapsling eller sortering. Andre igen - eksemplificeret ved de røde blodlegemer - efterligner vesiklerne i figur 6 – præsenteres som syntetiske analoger: ensartet i størrelse, optisk forseglede og strukturelt konsistente, men mangler den centrale bleghed og de cytoplasmatiske træk, der kendetegner ægte erytrocytter. Mens deres præcise funktioner stadig skal bestemmes, antyder denne variation i form og indhold specialisering – potentielt til transport, signalering eller strukturel initiering. Den underliggende organisatoriske logik synes bevidst snarere end tilfældig, og forståelsen af disse vesiklers roller skal nu blive en forskningsprioritet.

Disse fortolkningskategorier forstærkes af den bredere feltkontekst, der ses i figur 8. Her indeholder en stærkt ændret blodprøve flere klasser af vesikellignende strukturer, herunder koncentriske, lagdelte og variabelt tætte membranformer. Mange er usædvanligt ensartede og synes optisk forseglede, mens den omgivende matrix er mættet med fine reflekterende kolloider og partikelformede granuler. Bemærkelsesværdigt fraværende er typiske erytrocytmorfologier – hvilket øger muligheden for, at disse syntetiske vesikler ikke blot sameksisterer med røde blodlegemer, men fortrænger eller erstatter dem helt. Den slående mængde og ensartethed af disse vesikler antyder bevidst replikation og persistens, mens den anomale granulære baggrund indikerer, at nanopartikulært materiale kan være aktivt involveret i strukturering, belægning eller skabelondannelse af deres dannelse.

På tværs af alle prøvetyper trodser de dokumenterede strukturer konsekvent klassificering inden for de eksisterende paradigmer inden for hæmatologi, immunologi eller farmakologi. Deres persistens, interne kompleksitet og tilsyneladende responsivitet på miljømæssige stimuli antyder tilstedeværelsen af materialer, der muligvis ikke er helt biologiske i sin oprindelse. Hypotesen om, at disse repræsenterer syntetiske biomaterialer med selvorganiserende kapacitet, understøttes af både morfologiske beviser og deres overensstemmelse med adfærd beskrevet i nanoteknologilitteraturen, herunder responsive geler, programmerbare stilladser og modulære samleenheder.

Fra et regulatorisk og folkesundhedsmæssigt perspektiv er fraværet af formel undersøgelse af disse fænomener stadig vanskeligere at retfærdiggøre. Til trods for at flere uafhængige forskere rapporterer konvergerende resultater ved hjælp af sammenlignelige teknikker, har ingen større institution endnu foretaget bekræftende eller afkræftende undersøgelser. Tavsheden omkring disse observationer, især i lyset af deres reproducerbarhed og potentielle implikationer, kan afspejle en bredere fejl i risikogenkendelsesrammer eller en manglende vilje til at revurdere etablerede sikkerhedsantagelser (se også Hughes, **2024;** Kyrie & Broudy, **2022).** Det presserende behov for gennemsigtig, uafhængig og tværfaglig undersøgelse er tydelig.

De strukturelle adfærdsmønstre, der er dokumenteret i denne undersøgelse, rejser kritiske spørgsmål om de nuværende grænser for farmaceutisk videnskab, biomedicinsk etik og biosikkerhedslandskabet. Som minimum kan disse formationer repræsentere utilsigtede konsekvenser af nye hjælpestofkemier eller fremstillingsprocesser. Som maksimum kan de være tegn på en udeklareret materialeplatform med integrerede funktionelle egenskaber, herunder miljøfølsomhed eller potentiale for interaktivitet. Begge fortolkninger udfordrer eksisterende regulatoriske modeller og peger på nødvendigheden af at genoverveje, hvordan medicinske produkter evalueres, overvåges og klassificeres efter implementering.

Afslutningsvis repræsenterer de strukturer, der præsenteres her – dokumenteret i blod og urin gennem direkte observation – en betydelig afvigelse fra kendt biologisk adfærd. Uanset om det handler

Machine Translated by Google

Passivt eller aktivt introducerer deres tilstedeværelse en ny dimension til diskussioner om lægemiddelsikkerhed, bioakkumulering og systemisk eksponering. Disse resultater er ikke spekulative: de er synlige, tilbagevendende og analytisk håndterbare. Forpligtelsen ligger nu hos det videnskabelige samfund og de regulerende institutioner til at undersøge disse fænomener med den alvor, de berettiger.

Konklusion

Resultaterne præsenteret i denne undersøgelse viser den vedvarende tilstedeværelse af strukturerede anomalier—specifikt vesikler, krystaller, kolloider og hybridkompositter - i humant blod og urin. Disse formationer udviser organiserede morfologier, vedvarende adfærd og trinvise overgange, herunder udviklingen fra hydrogel til fiber til krystallinsk plade. Deres fremkomst afspejler strukturelle motiver, der tidligere er observeret i farmaceutiske produkter, hvilket antyder en kontinuitet mellem injicerbare materialer og interne selvsamlende processer.

Adskillige træk – herunder geometrisk regelmæssighed, elektromagnetisk responsivitet og mulig nukleinsyreassociation – indikerer, at disse ikke er tilfældige biologiske artefakter, men kan repræsentere syntetiske biomaterialer med indlejret organisatorisk logik. Forekomsten af lignende strukturer på tværs af arter, herunder i veterinærprodukter, øger muligheden for en systemisk og underkendt eksponeringsvej.

Mens den præcise sammensætning og funktion af disse materialer stadig skal bestemmes, fortjener deres reproducerbarhed, kompleksitet og potentielle funktionelle egenskaber øjeblikkelig videnskabelig undersøgelse. Disse strukturer udfordrer nuværende regulatoriske antagelser om farmaceutisk inertitet og biokompatibilitet. De her præsenterede beviser opfordrer ikke til spekulation – de kræver verifikation.
I lyset af disse resultater er en tværfaglig, transparent og uafhængig forskningsindsats afgørende.
De beskrevne strukturelle fænomener er observerbare, håndterbare og konsistente på tværs af stikprøver. Deres implikationer, både medicinske og teknologiske, kræver øjeblikkelig og åben granskning.

Referencer

Akyildiz, IF, Pierobon, M., Balasubramaniam, S., & Koucheryavy, Y. (2015). Internettet af bio-nano-ting. *IEEE Communications Magazine,* 53(3), 32–40. **https://doi.org/10.1109/MCOM.2015.7060516**
ÿ Det centrale konceptuelle rammeværk for IoBNT, hvor biologiske systemer interagerer med programmerbar nanokommunikation.

Cipelli, R., Giovannini, F., & Pisano, G. (2022). Mørkefeltsmikroskopi afslører anomalier i blodet hos COVID-19-vaccinerede personer. *International Journal of Vaccine Theory, Practice, and Research,* 2(2), 385–444. **https://ijvtpr.com/index.php/IJVTPR/article/view/46**

Hughes, D. (2022). Hvad er der i de såkaldte COVID-19-"vacciner"? Del 1: Beviser på en global forbrydelse mod menneskeheden. *International Journal of Vaccine Theory, Practice, and Research,* 2(2), 455–586. **https://doi.org/10.56098/ijvtpr.v2i2.52**

Machine Translated by Google

Hughes, DA (2024). COVID-19: Psykologiske operationer og krigen for teknokrati. Palgrave Macmillan. **https://dhughes.substack.com/p/covid-19-psychological-operations**

Kyrie, V., & Broudy, D. (2022). Cyborgs R Us: Bio-nano-panoptikonet af injicerede kroppe? *Internationalt tidsskrift for vaccineteori, -praksis og -søgning,* 2(2), 356–387. **https://doi.org/10.56098/ijvtpr.v2i2.49**

ÿ Citeret for konceptet om epistemisk usynlighed og "bio-nano panoptikon"-logik, der gemmer sig under institutionelle tærskler.

Lee, YM, & Broudy, D. (2024a). Realtids-selv-assembling af stereomikroskopisk synlige Kunstige konstruktioner i inkuberede prøver af mRNA-produkter. *International Journal of Vaccine Theory, Practice, and Research, 3(2),* 1180–1244. https://doi.org/10.56098/586k0043

ÿ Dokumenterer visuelt observerbar selvsamling i vaccinematerialer.

Nixon, D. (2025b). Nano skaber mikro: Fremvoksende strukturel logik på tværs af farmaceutiske og biologiske systemer. *Journal of Bionanotechnocracy: Nedtælling til 2030,* 1(1), 113–197. **https://www.journalbnt.org**

ÿ Definerer den "trefasiske signatur" (vesikel-krystal-kolloid-koordination) – brugt til at fortolke triplet MAC-emissionsadfærd.

Schwille, P. (2011). Bottom-up syntetisk biologi: ingeniørvidenskab i en eksperimenterende verden. *Science, 333(6047), 1252–1254.* https://www.science.org/doi/10.1126/science.1211701

ÿ Denne artikel fremhæver bottom-up syntetisk biologi som et paradigme for gentænkning af biologisk kompleksitet med vægt på modulær ingeniørkunst og minimale systemer.

Taksigelser

Jeg vil gerne udtrykke min oprigtige taknemmelighed til Xstra Technologies Group og abonnenterne på NixonLab Substack for deres uvurderlige støtte og bidrag til denne forskning. En særlig tak til Micronauts og dem, der har bidraget med billeder til denne artikel: Steve Clough, CM, Karl C. og Delina B. Synspunkterne, meningerne og konklusionerne, der præsenteres i denne artikel, er udelukkende mine egne.

Erklæring om interessekonflikter

Denne forskning blev udført uafhængigt, uden eksterne påvirkninger, der påvirkede de præsenterede data eller konklusioner. Selvom nogle indtægter stammer fra abonnementer på min personlige *Substack* offentliggørelse, kompromitterer dette ikke studiets integritet eller objektivitet. Der er ikke rapporteret om andre interessekonflikter.

Machine Translated by Google

Meddelelse om ophavsret

© 2025 David Nixon. Nogle rettigheder forbeholdes.
Dette værk må frit deles, reproduceres eller oversættes til ikke-kommercielle, uddannelsesmæssige eller forskningsmæssige formål, forudsat at der gives passende kildeangivelse. Videredistribution af billeder eller tekst i modificerede eller afledte værker skal også angive den originale kilde. Kommerciel reproduktion, herunder brug i produkter eller publikationer med profit for øje, kræver forudgående skriftlig tilladelse fra forfatteren. For licens eller tilladelser, kontakt venligst: david@drdavidnixon.com.

Dette arbejde har været fuldt ud privatfinansieret.

Besøg venligst min hjemmeside: www.drdavidnixon.com for flere billeder og videoer,

Tjek min Substack: davidnixon.substack.com

Ordliste

Kantede toroider
En underklasse af toroidal struktur karakteriseret ved ikke-ensartet eller segmenteret geometri, der ofte fremstår polygonal snarere end cirkulær. De kantede toroider, der er dokumenteret her, antyder skabelonbaseret design og kan afspejle morfogenetiske instruktioner af højere orden.

Anomale strukturer Usædvanlige eller uventede formationer, der afviger fra typisk krystallisation eller signal mønstre, hvilket ofte antyder syntetisk design eller eksterne påvirkninger.

Attributionsfejl Manglende evne til at identificere en Bluetooth MAC-adresse som en kendt enhed, producent eller tjeneste ved hjælp af standardopslagsmetoder (såsom OUI-databaser). I denne undersøgelse indikerer attributionsfejl, at en MAC-adresse, selvom den er strukturelt gyldig, ikke kan knyttes til nogen kommerciel enhed eller hardwarekilde – hvilket tyder på en syntetisk eller ikke-standard oprindelse.

Bio-nano-kommunikationsgrænseflade En hypotetisk interaktionszone, hvor biologiske eller syntetiske Materialer kan udvise trådløs signaladfærd og udgøre en del af et decentraliseret kommunikationsnetværk.

Bio-nano-kommunikationsnetværk Hypotetiske eller nye systemer, hvor nanoskala eller biologiske Enheder deltager i elektromagnetisk signalering eller trådløs interaktion, og danner potentielt decentraliserede eller indlejrede kommunikationslag.

Bio-nano-grænseflader Skæringspunktet mellem biologiske systemer og nanoskalamaterialer, hvor interaktioner kan føre til organiserede strukturer eller funktionel adfærd.

BLE (Bluetooth Low Energy) En strømbesparende trådløs protokol, der almindeligvis bruges i nærhedsbaserede applikationer. BLE var standarden, der blev brugt i passive scanninger, der afslørede unormale MAC-emissioner.

Machine Translated by Google

Biodigital grænseflade Konvergenszonen, hvor biologiske systemer interagerer med digitale teknologier, herunder indlejrede sensorer, trådløse kommunikationssystemer og programmerbare nanomaterialer. Det repræsenterer en ny grænse inden for overvågning, kontrol og biologisk forstærkning.

Bio-Fotonisk Resonansenhed

En foreslået klassificering af strukturer, der kombinerer biologiske eller farmaceutiske materialer med optisk eller elektromagnetisk resonanskapacitet. Den krystallinske formation observeret i denne undersøgelse er et kandidateksempel, givet dens organisering, opdeling i kompartmentalisering og lysinteraktionsegenskaber.

Bitfeltkonstans Det fænomen, hvor specifikke bitpositioner forbliver identiske på tværs af flere MAC-adresser, hvilket langt overstiger, hvad der ville forventes ved en tilfældighed. Denne strukturelle gentagelse antyder en skabelonbaseret eller programmatisk oprindelse.

Cÿÿ-induceret klaring

En fase med strukturel forfining observeret efter tilsætning af en fullerenbaseret olie (Cÿÿ), som forbedrer optisk kontrast, grænseskarphed og synlighed af understrukturen. I denne undersøgelse muliggjorde Cÿÿ-behandling en klarere differentiering af toroidale formationer og vesikulær kantdynamik.

Kapillærstrømninger Væskebevægelse i en dråbe drevet af overfladespænding og fordampningsdynamik, omfordeler partikler og påvirker selvsamling.

Cirkel-rektangelmotiver. Tilbagevendende geometriske træk karakteriseret ved præcise cirkulære og rektangulære former. arrangementer, der udviser hierarkisk og fraktallignende organisation.

Koacervater Faseseparerede dråber dannet gennem væske-væske faseseparation, ofte forbundet med forløbere for organiserede eller selvsamlende systemer.

Kolloidpartikler Små partikler suspenderet i et flydende medium, der fungerer som mellemprodukter i selvorganisering processer, der forbinder nano- og mikroskaladomæner.

Kompleks selvsamling Den spontane dannelse af komplekse, organiserede strukturer fra simple komponenter, ofte påvirket af miljøfaktorer, eksterne felter eller intern programmering.

Dækglasbegrænsning

Indflydelsen af et dækglas placeret over en fastsiddende dråbe, der ændrer fordampningsdynamikken, væskeomfordelingen og klarheden eller kompleksiteten af observerede strukturer. Resulterer ofte i forbedret geometrisk definition og øget strukturel lagdeling.

Krystal-fiber-samlinger (CFA'er) Unikke fiber-krystalstrukturer observeret i farmaceutiske præparater, der demonstrerer organiseret og hierarkisk selvsamling.

Krystallinske formationer Strukturerede, geometriske arrangementer af partikler som følge af fordampning og krystallisationsprocesser i en prøve.

Mørkefeltsmikroskopi (DFM) En mikroskopiteknik, der forbedrer kontrasten i transparente prøver ved oplyser dem med spredt lys, hvilket gør fine detaljer synlige.

Deterministisk identitetskonstruktion Den proces, hvorved identiske MAC-adresser konstrueres på tværs af enheder, når de udsættes for det samme strukturerede signal, under antagelse af konsistent BLE-genkendelseslogik.

Machine Translated by Google

Diagnostiske heuristikker. Forprogrammerede mønstre og logiske regler indlejret i BLE-diagnosticeringsværktøjer, der bruges til at fortolke MAC-adresser og nyttelast. Tilslører ofte ny syntetisk identitet ved at tvinge tilskrivning til kendte enhedsklasser.

Demontering Den proces, hvorved selvsamlede strukturer bryder fra hinanden eller reorganiserer, hvilket viser reversibel og dynamisk adfærd.

Dynamisk omfordeling Den aktive bevægelse og omjustering af partikler i en prøve, påvirket af eksterne faktorer såsom magnetiske eller elektromagnetiske felter.

Dynamisk selvsamling En form for selvsamling, der er karakteriseret ved kontinuerlig bevægelse, tilpasning og reorganisering af komponenter over tid.

Indkapslingsbegivenheder

Den dynamiske dannelse af lukkede eller delvist indesluttede vesikellignende grænser omkring partikler, fibre eller krystallinske kerner. Disse begivenheder antyder aktiv grænsedannelse under selv-assembling, potentielt forbundet med materialesortering eller afskærmningsfunktioner.

Elektromagnetiske felter (EMF'er) Energifelter, der påvirker justeringen, dannelsen eller reorganiseringen af selvsamlende strukturer.

Emitter-resonator-arkitektur

En rumlig konfiguration, hvor forskellige områder af en struktur udfører komplementære signaleringsroller – såsom at generere (emitter) og forstærke eller forme (resonator) et signal. Foreslået i teoretiske nanonetværk og afspejlet i den observerede morfologi af den firkammerkrystal.

Motor-Meccano-samlinger Komplekse, sammenkoblede strukturer, der ligner mekaniske samlinger, observeret dynamisk i interaktion med omgivende materialer.

Entropidynamik (ændret) Afvigelser fra forventet tilfældighed i MAC-adressetegnfordelinger, hvilket resulterer i begrænsede entropiværdier og gentagne strukturelle mønstre. Disse ændrede dynamikker fungerer som en nøglemarkør for struktureret emission.

Entropimodulation En cyklisk eller mønstret variation i den statistiske entropi af udsendte MAC-adresser, der indikerer en mulig underliggende rytme- eller tilstandsovergangsmekanisme.

Entropiprofil Et mål for tilfældighed eller kompleksitet i den hexadecimale eller binære struktur af en MAC-adresse. Høje eller lave entropiværdier kan være tegn på bevidste formateringsbegrænsninger.

Hjælpestoffer Stoffer, der indgår i farmaceutiske formuleringer, som traditionelt betragtes som inaktive, men som kan påvirke selvorganiserende materialers opførsel. Deres rolle i materialeorganisation, vesikeldynamik og potentielt syntetisk design er under stigende granskning.

Femte generations hybridkrigsførelse. En konceptuel ramme, der beskriver konvergensen af teknologiske, psykologiske, biologiske og informative domæner i moderne konflikt. Bruges her til at beskrive forekomsten af skjulte trådløse systemer som potentielt forbundet med avancerede former for strategisk implementering.

Firmwareopacitet En tilstand, hvor den kode, der styrer BLE-radiodrift, er krypteret, proprietær eller ellers utilgængelige, hvilket forhindrer ekstern revision af emission eller adfærd på modtagersiden.

Machine Translated by Google

Fraktallignende egenskaber. Mønstre, der udviser selvlighed og kompleksitet på tværs af flere skalaer, ofte observeret i "cirkel-rektangelmotiver".

Fraktal stratificering

Et lagdelt, skala-rekursivt arrangement inden for selvsamlede formationer, hvor geometriske motiver som rektangler eller cirkler gentages på tværs af forskellige rumlige skalaer, hvilket antyder hierarkisk kodning eller skabelondesign.

Granulær matrix En tekstureret baggrund bestående af små partikler, der interagerer med selvsamlende elementer. strukturer.

MAC-adresser med høj gentagelse MAC-adresser, der vises gentagne gange i scanninger, hvilket antyder persistens og potentielle ukendte emissionskilder.

Hierarkisk organisation Strukturel organisation, der forekommer på tværs af flere skalaer, fra nanoskala til mikroskala, der involverer indbyggede eller gentagne mønstre.

Hydrodynamisk strømning Væskebevægelse i en dråbe eller et system, der påvirker partikelomfordeling og strukturel justering under fordampning.

Identitetsstruktur Det underliggende mønster eller system, hvorved MAC-adresser og OUI-præfikser genereres eller tildeles. I denne sammenhæng fremhæver det fremkomsten af en ny navngivnings- eller udsendelseslogik, der er uforenelig med eksisterende BLE-økosystemer.

Den Internationale Telekommunikationsunion (ITU)

FN's agentur, der er ansvarlig for global koordinering af radiospektrumbrug, telekommunikationsstandarder og satellitbaner. Gennem sine sektorer ITU-R (radiokommunikation) og ITU-T (telekommunikationsstandardisering) styrer det frekvensallokering for trådløse teknologier, herunder Wireless Body Area Networks (WBAN'er).

Intervalstratificering Organiseringen af udsendte signaler i faste tidsbånd – såsom 100 ms, 180 ms eller 2000 ms – hvilket antyder rollebaseret emissionslogik i et skjult broadcastsystem.

Kernel Density Estimate (KDE) En statistisk metode til estimering af sandsynlighedstæthedsfunktionen for en stokastisk variabel. Bruges her til at visualisere entropifordelinger i MAC-datasæt.

Lagdelingsproces Teknikken med at opbygge flere lag af en prøve for at forbedre synligheden af strukturelle formationer under mikroskopi.

Lineære strukturer Lige, aflange formationer observeret i selvsamlende systemer, ofte påvirket af magnetiske eller elektromagnetiske felter.

MAC-adresse En unik identifikator, der tildeles Bluetooth-aktiverede enheder. I denne undersøgelse henviser uregistrerede MAC-adresser til dem, der ikke er knyttet til nogen kendt producent eller kommerciel enhed.

MAC-adresseklynger Den tilbagevendende forekomst af lignende MAC-adressestrukturer i et datasæt, ofte indikerer en fælles kilde eller koordineret adfærd.

Magnetisk responsivitet Evnen hos bestemte strukturer eller partikler til at justere sig, klynge sig eller bevæge sig som reaktion på magnetfelter.

Machine Translated by Google

Materiel aggregering Klyngning af partikler under selvsamlingsprocessen, hvilket bidrager til dannelsen af organiserede strukturer.

Materialeomfordeling Bevægelsen og repositioneringen af partikler under dråbefordampning, drevet af kapillærstrømninger.

Medicinsk implantatkommunikationstjeneste (MICS)

Et globalt udpeget frekvensbånd (402-405 MHz) allokeret af ITU til trådløs kommunikation med ultralavt strømforbrug mellem medicinske implantater og eksterne enheder. MICS understøtter kortdistanceret, kropscentreret dataudveksling med minimal interferensrisiko, hvilket muliggør funktioner som pacemaker-telemetri, biosensorrelæ og diagnostiske uplinks inden for Wireless Body Area Networks (WBAN'er).

Mikromotor Sfæriske, sorte, bevægelige strukturer, der tilsyneladende driver materialeoverførsel eller strukturel reorganisering under selvmontering.

Mikro-Meccano Stanglignende eller kantede strukturer, der styrer eller kontrollerer selvmonteringsprocessen, ofte udviser dynamisk adfærd.

Modulær krystallinsk enhed

En strukturelt distinkt formation bestående af flere diskrete rum eller kamre, ofte arrangeret med rumlig symmetri eller funktionel adskillelse. I denne undersøgelse blev en modulær enhed med fire kamre observeret, indeholdende centrale fotoniske toroider og perifere optisk inerte regioner, hvilket tyder på emitter-resonatorens logik.

Motivgentagelse

Den gentagne forekomst af specifikke strukturelle arrangementer (f.eks. CFA'er eller CRM'er) på tværs af forskellige prøver, forstørrelser og stoffer, hvilket tyder på ikke-tilfældig, reproducerbar adfærd, der er i overensstemmelse med indlejret samlingslogik.

Nano skaber mikro. Princippet om, at nanoskalakomponenter kan aggregere og danne observerbar mikroskala. strukturer.

Narrativ filtrering Et udtryk, der bruges til at beskrive, hvordan diagnostiske værktøjer (f.eks. nRF Connect) genfortolker anomale emissioner via hardcoded logik, der omfordeler ukendte MAC'er til velkendte mærker og maskerer deres sande struktur.

Indlejret assembly-arkitektur

Den rekursive dannelse af geometriske eller krystallinske enheder inden for større strukturer, der afspejler en hierarkisk, skabelonbaseret proces for materialeorganisering. Dette mønster af indbygget design antyder en skalerbar blueprint, der styrer selvsamling på tværs af nano- til mikrodomæner, hvor hvert strukturelt niveau afspejler centrale geometriske principper.

Nukleering Den indledende proces, hvorved partikler eller molekyler klynger sig sammen og danne fundamentet for en større struktur eller krystal.

Organisatorisk unik identifikator (OUI) De første 24 bit (eller de første 3 par hexadecimale tegn) af en Bluetooth- eller MAC-adresse, der bruges til at identificere producenten eller leverandøren af en enhed. OUI'er registreres og tildeles af IEEE. Hvis en MAC-adresse ikke kan identificeres som en kendt OUI, tyder det på, at

Machine Translated by Google

enheden er uregistreret, ikke-forbruger eller forfalsket. I denne undersøgelse matchede over 99 % af de OUI'er, der blev opdaget i 2025, ikke dem, der blev set i 2022, hvilket antyder et strukturelt skift i identitetstildelingen.

OUI-opløsning Organisatorisk unik identifikatoropløsning refererer til processen med at forbinde en MAC-adresse til en kendt producent. Uopløste OUI'er antyder uregistrerede eller ukendte kilder.

Optiske egenskaber Materialers karakteristika, såsom reflektionsevne eller gennemsigtighed, som bliver tydelige under specifikke mikroskopiteknikker som mørkfeltsmikroskopi.

Panoptikon Oprindeligt udtænkt af filosoffen Jeremy Bentham som et cirkulært fængselsdesign, der tillod en enkelt vagt at observere alle indsatte uden deres viden, har udtrykket udviklet sig til en metafor for systemisk, usynlig overvågning. I denne artikel refererer det til den emergente arkitektur, hvor biologiske væsener er indlejret i en gennemgribende sensor- og transmissionsinfrastruktur, ofte uden bevidsthed eller samtykke. Når den biodigitale grænseflade er etableret, som Kyrie og Broudy argumenterer for, bliver infrastrukturen ikke bare observerbar – men observerende.

Nyttelastmodulation Variation i indholdet af BLE-pakker, der følger ensartede strukturelle regler – ofte observeret som spejlede mønstre eller byterotationer – hvilket antyder intern formateringslogik og rolledifferentiering.

Faseovergange Ændringer i materialers tilstand eller organisering, såsom fra flydende til fast eller amorf til krystallinsk, som ofte påvirker selvsamlingsprocesser.

Fotonisk rum
Et afgrænset område inden for en større krystallinsk eller modulær struktur, der udviser optiske egenskaber - såsom refleksion, resonans eller lysspredning - hvilket antyder en rolle i signalmodulation eller energiinteraktion. I denne artikel betragtes toroidale former, der er anbragt i centrale krystalkamre, som fotoniske rum på grund af deres lagdelte, lysreaktive geometri.

Plugged-In-fænomen Et udtryk, der er opfundet til at beskrive det visuelle udseende af en krystallinsk fiber, der etablerer en stabil forbindelse med en krystalstruktur, muligvis knyttet til fremkomsten eller moduleringen af MAC-signaler.

Programmerbar samling Konceptet med at designe nanoskalakomponenter, der selvsamles til ønskede strukturer gennem indlejrede eller prækonstruerede instruktioner.

Programmeret morfogenese
Hypotesen om, at selvsamlende strukturer observeret under SDE og DFM er resultatet af forudindlæst, instruktionsdrevet organisering, muligvis udløst af miljøforhold såsom fordampningshastighed, indeslutning eller EMF-eksponering.

Receiver-Side Rendering En proces, hvor strukturerede signaler får en Bluetooth Low Energy (BLE)-stak til at generere syntetiske MAC-adresser internt – uden tilstedeværelsen af en broadcasting-enhed. Identitet konstrueres baseret på signalmønstergenkendelse, ikke transmissionsoprindelse. Denne proces afspejler modtagerstyrede protokoller foreslået i nanonetværksmodeller (f.eks. PHLAME), hvor modtageren fortolker minimale emissioner som komplette identiteter, hvilket effektivt konstruerer tilstedeværelse snarere end at detektere transmission.

Machine Translated by Google

Rekonstitution efter opløsning

Det fænomen, hvor krystallinske eller modulære strukturer dukker op igen efter delvis nedbrydning eller genindførelse af væske - hvilket antyder reversibilitet og hukommelse i assemblylogik.

Reflekterende mikrostrukturer. Lyse, reflekterende formationer observeret under mørkfeltsmikroskopi, hvilket tyder på organiserede eller konstruerede materialeegenskaber.

Reaktion på elektromagnetisk stråling. Opførslen af selvsamlende strukturer påvirket eller styret. af elektromagnetiske felter, der påvirker krystallisationsdynamikken.

Reversibel samling Strukturers evne til dynamisk at samles og adskilles, ofte som reaktion på miljømæssige stimuli.

RSSI (Received Signal Strength Indicator) En måleenhed, der måler effektniveauet for et modtaget signal. Bruges her for at spore nærhed og konsistens af anomale MAC-emissioner.

Selv-assemblering Den spontane organisering af partikler eller komponenter i strukturerede formationer, drevet af af indre eller ydre kræfter.

Sessile dråbefordampning (SDE) En analytisk teknik, hvor en væskedråbe placeres på et substrat og får lov til at fordampe under omgivende forhold. Processen afslører materialeadfærd såsom kapillærstrømning, vesikelklyngedannelse og struktureret krystallisation, hvilket muliggør direkte observation af selvsamlingsmekanismer.

Signalklasse A-kategori eller -type af trådløs emission defineret af dens ensartede egenskaber såsom gentagelse, signalstyrke, entropi og oprindelse. Bruges her til at beskrive en potentiel ny form for BLE-transmission, der ikke kan tilskrives kendte forbrugerenheder.

Signalinduceret identitetssyntese Oprettelsen af en MAC-adresseidentitet i BLE-modtagerstakken som reaktion på en ekstern emission, der matcher strukturelle tærskler. Antyder, at identitetsillusionen er formet af intern protokollogik.

Signalgentagelse Den gentagne forekomst af specifikke MAC-adresser på tværs af flere scanninger eller sessioner, hvilket tyder på en vedvarende eller programmeret emissionskilde.

Struktureret entropiundertrykkelse

Et statistisk mønster, hvor entropiværdier for MAC-adresser grupperes i smalle bånd (f.eks. 2,5-2,86), hvilket trodser tilfældig fordeling og indikerer systemisk begrænsning i adressedannelsen.

Strukturelle motiver Gentagne mønstre eller geometriske træk inden for selvsamlede strukturer, såsom "cirkel-rektangelmotiver".

Overfladespændingsdynamik Overfladespændingens rolle i at forme partikelbevægelser og materiale aggregering i fordampende dråber.

Syntetisk nanonetværkslag (SNL) Et skjult, struktureret lag af trådløse emissioner karakteriseret ved uregistrerede MAC-adresser, stabile RSSI-værdier, ændret entropidynamik, intervallåsning, bitfeltkonstans og skabelonbaserede nyttelaststrukturer. SNL opererer uden for konventionelle Bluetooth-protokoller.

Machine Translated by Google

og kan afspejle indlejrede eller biointegrerede radio- og tv-systemer. Det kan detekteres via nærhedsscanning, men kan ikke tilskrives via standardproducent- eller enhedsdatabaser.

Skabelonbaseret emission Et struktureret signal, der følger et gentageligt mønster i entropi, timing og bit struktur – hvilket antyder, at den blev genereret i henhold til et foruddefineret skema i stedet for at blive udsendt tilfældigt.

Time-lapse-billeddannelse En mikroskopiteknik, der bruges til at indfange progressive ændringer i et system og afsløre dynamiske processer som selvmontering eller demontering.

Toroidal resonator

En lukket, donutformet struktur med intern vinkelsymmetri, der teoretiseret fungerer som et resonant hulrum eller signalmodulator. De toroider, der observeres i denne undersøgelse, udviser tydelig geometrisk lagdeling og er indesluttet i krystallinske rum, hvilket fremkalder komponenter beskrevet i syntetiske nanonetværksmodeller.

Trefasisk signatur

Et tilbagevendende og koordineret mønster af strukturel fremkomst observeret i farmaceutiske og biologiske prøver, bestående af tre sammenkoblede komponenter: vesikler, krystaller og kolloidale partikler. Disse elementer optræder i reproducerbare sekvenser under fastsiddende dråbefordampning (SDE) og interagerer ofte dynamisk på tværs af skalaer. Den trefasiske signatur fungerer som en diagnostisk indikator for hierarkisk selvsamling, programmerbar materialeadfærd og latent arkitektonisk logik inden for tilsyneladende inerte formuleringer.

Rørformede strukturer Hule, cylindriske formationer observeret i selvsamlende systemer, potentielt påvirket af eksterne felter.

Ikke-deklarerede emissionskilder Enheder eller strukturer, der udsender trådløse signaler, som ikke er offentliggjort i offentlig dokumentation, og som antyder skjulte eller hemmelige teknologier.

Overgang fra vesikel til stang

En dynamisk proces observeret under SDE, hvor sfæriske vesikellignende strukturer forlænges til stavlignende former, ofte forud for krystallinsk kimdannelse eller kantdannelse. Denne overgang kan repræsentere et centralt mellemprodukt i programmerbar morfogenese.

Vesikellignende strukturer Sfæriske, boblelignende træk, der interagerer dynamisk med andre strukturer, udviser nogle gange magnetisk responsivitet.

Trådløst kropsnetværk (WBAN)

Et trådløst kommunikationsnetværk med kort rækkevidde dannet af bærbare, implanterede eller proksimale sensorer og enheder, der opererer på eller inde i den menneskelige krop. WBAN'er, der bruges i medicinsk overvågning, biometri og interfacesystemer, er afhængige af ultralav strømtransmission og opererer typisk i reserverede frekvensbånd (f.eks. MICS på 402-405 MHz).

Zeta-potentiale Et mål for det elektriske potentiale på overfladen af kolloidale partikler, der påvirker deres interaktioner og stabilitet under selv-assemblage.

Machine Translated by Google

Juridisk ansvarsfraskrivelse

Oplysningerne på denne hjemmeside og i *Journal of Bionanotechnocracy: Countdown to 2030* er udelukkende beregnet til informative og uddannelsesmæssige formål. Det er ikke beregnet til at tjene som en diagnose, behandlingsanbefaling, forebyggelsesstrategi eller kur mod nogen af de nævnte medicinske tilstande, procedurer eller protokoller. Brugere og læsere – herunder forældre, værger, omsorgspersoner, klinikere eller andre – rådes til at udøve deres egen dømmekraft og konsultere kvalificerede fagfolk vedrørende specifikke ansøgninger eller beslutninger.

De bidragydende forfattere, redaktører og alle, der er tilknyttet hjemmesiden og/eller tidsskriftet, fraskriver sig ethvert ansvar for skade, personskade, økonomisk tab eller andre konsekvenser, der måtte opstå som følge af brugen, anvendelsen eller fortolkningen af oplysninger, søgeresultater, meninger eller konklusioner heri. Ansvaret for, hvordan dette materiale anvendes, ligger udelukkende hos brugeren.

Materialet stilles frit til rådighed til undersøgelse og akademisk udforskning. Hvis det citeres, citeres eller genoptrykkes, skal brugerne kreditere den oprindelige kilde eller forfatter og overholde vilkårene i Creative Commons-licensen 4.0 NC ND eller enhver anden gældende licensaftale. Videredistribution til kommercielle formål eller i ændrede former er strengt forbudt.

Slutrefleksion

I systemer styret af tilsløring forsvinder sandheden ikke – den kvæles. De, der har magten, benægter ikke blot ubelejlige realiteter; de fremstiller epistemisk kaos, omdirigerer undersøgelser og kræver, at kritikere opfylder umulige bevisstandarder. I mellemtiden forbliver deres egne forklaringer ubelastede af beviser, beskyttet af institutionel inerti. I en sådan kontekst er en samvittighedsfuld observatørs pligt ikke at bevise det, der ikke kan ses fuldt ud, men at belyse det, der allerede er til stede, reproducerbart og uforeneligt med officielle fortællinger.